Дифракционные методы в современной физике твердого тела и материаловедении

- * Разнообразие нейтронных дифрактометров
- Основные нейтронные дифракционные задачи
- * Новые идеи и новые возможности
- * Задачи материаловедения
- ❖ Ф.Л. Шапиро и дифракция на импульсных источниках нейтронов



Федор Львович Шапиро 1915 - 1973

©2015, A.M.Balagurov bala@nf.jinr.ru

Нейтронный структурный анализ



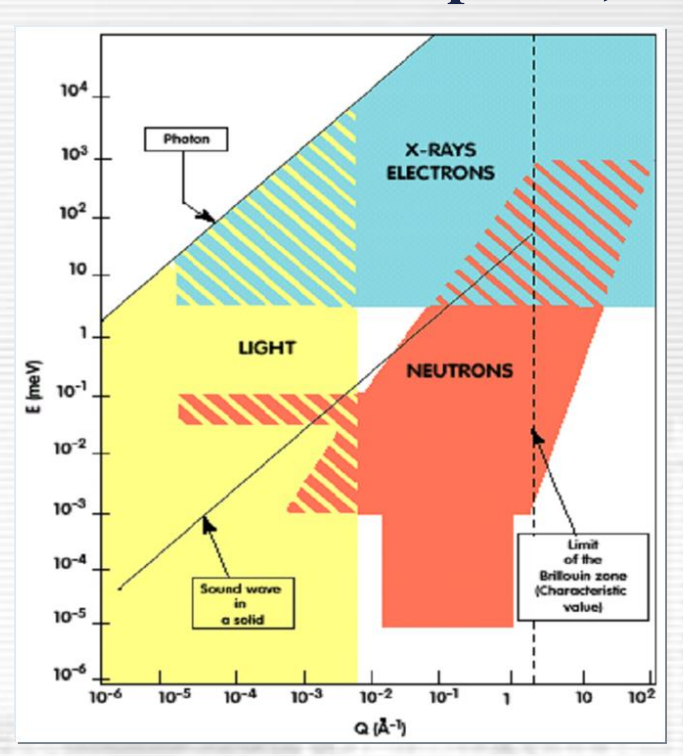
Кристалл: периодичность, симметрия, анизотропия

- 1. Кристалл вещество с внутренней (3D) периодичностью.
- 2. Элементарная ячейка часть структуры кристалла, трансляциями которой воспроизводится структура всего кристалла. Ее выбор неоднозначен.
- 3. Кристаллическая решетка воображаемый объект, образованный вершинами (узлами) ячеек, заполняющих все пространство кристалла.
- 4. Через узлы кристаллической решетки можно провести воображаемые плоскости (кристаллографические).
- 5. Базису системы координат в кристаллическом пространстве можно однозначно сопоставить базис в обратном пространстве, $\{a\} \leftrightarrow \{b\}$.
- 6. Произведение $T \cdot H = m$, где $T = n_i a_i$, $H = h_i b_i$, n_i , h_i , m целые числа.
- 7. Вектор $\mathbf{H} = \mathbf{h}_{i} \mathbf{b}_{i}$ перпендикулярен плоскости $\{\mathbf{h}_{i}\}$ и $d_{h} = 1/|\mathbf{H}_{h}|$.
- 8. Трансляционной инвариантность структуры кристалла совместима только с определенными геометрическими элементами симметрии.
- 9. В 3D пространстве существует 230 комбинаций элементов симметрии.
- 10. Трансляционные, точечные и пространственные элементы симметрии обладают групповыми свойствами.

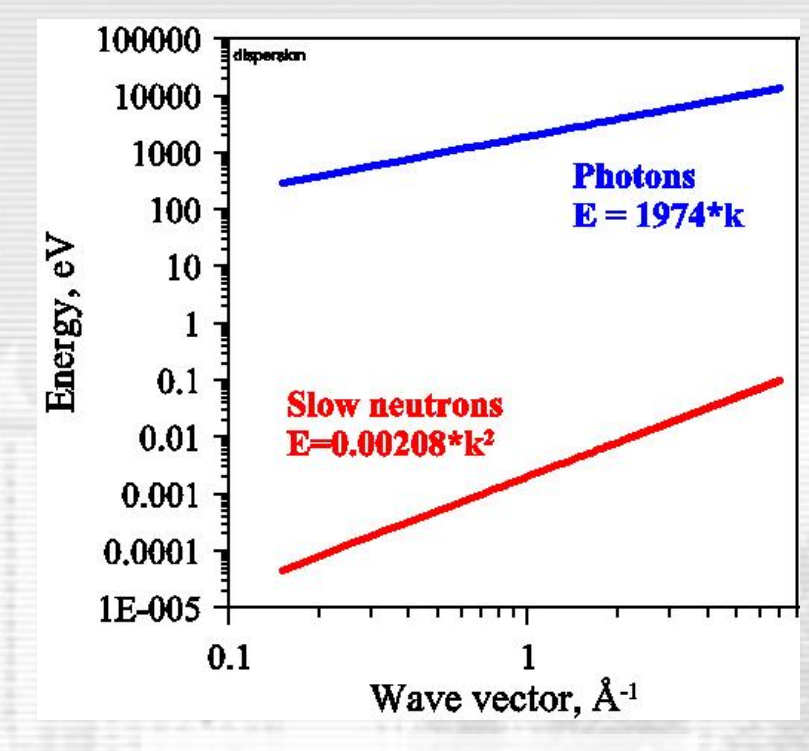
$$\Phi(\mathbf{R}) = \Phi(\mathbf{R} + \mathbf{T})$$

$$T = \mathbf{n}_1 \cdot \boldsymbol{a} + \mathbf{n}_2 \cdot \boldsymbol{b} + \mathbf{n}_3 \cdot \boldsymbol{c}$$

Нейтроны, свет, рентген, электроны



Доступные на плоскости (E, Q) области для фотонов и медленных нейтронов



Дисперсионные соотношения для фотонов и нейтронов

$$S(q, \omega) \sim \iint e^{i(qr - \omega t)} G(r, t) dr dt$$

Закон рассеяния



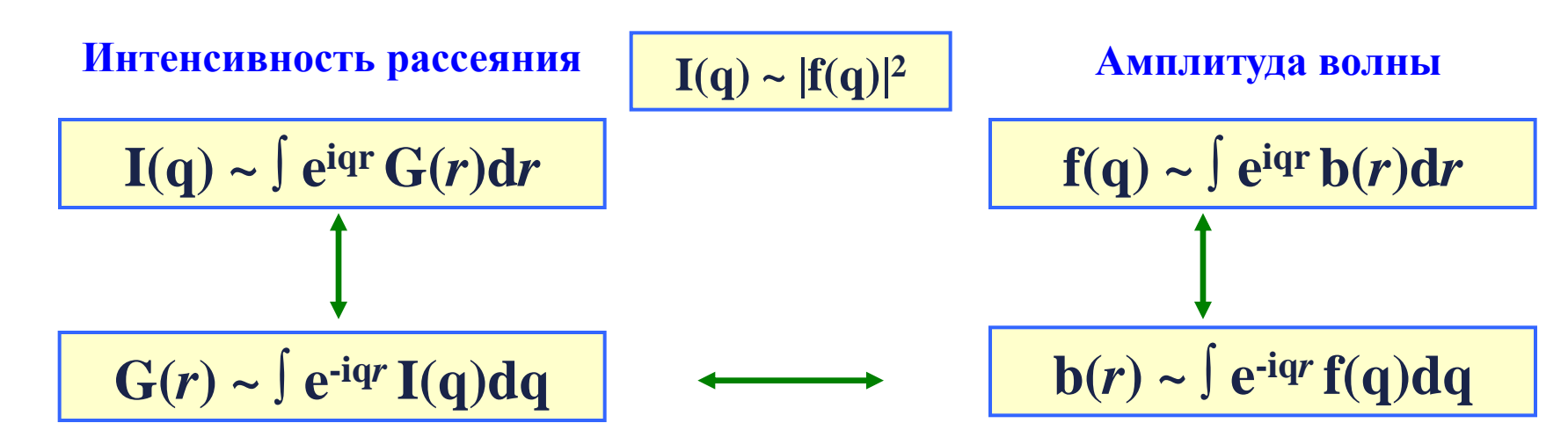
(L. van Hove, 1954 г.)

Корреляционная функция

$$l \sim 2\pi/q$$
, $\tau \sim 2\pi/\omega$

$$\Delta l = (0.1 - 6.10^3) \text{ Å}$$

Упругое рассеяние как фурье-преобразование структуры



Парная корреляционная функция

Рассеивающая плотность

$$G(r) = \int b(u) b(u + r) du$$

$$\mathbf{b}(r) \, / \, \mathbf{G}(r)$$
 - объект \longleftarrow $\mathbf{f}(\mathbf{q}) \, / \, \mathbf{I}(\mathbf{q})$ - изображение

Пространство кристалла

←

Обратное пространство

Формулы справедливы для объектов любой природы, любой конфигурации рассеивающих центров, любого типа упругого рассеяния, любого излучения!

Упругое рассеяние как фурье-преобразование структуры

1) Регистрация упругого рассеяния

$$I(q) \sim S(q, 0)$$
 или $\int S(q, \omega) d\omega \sim \int e^{iqr} G(r) dr$

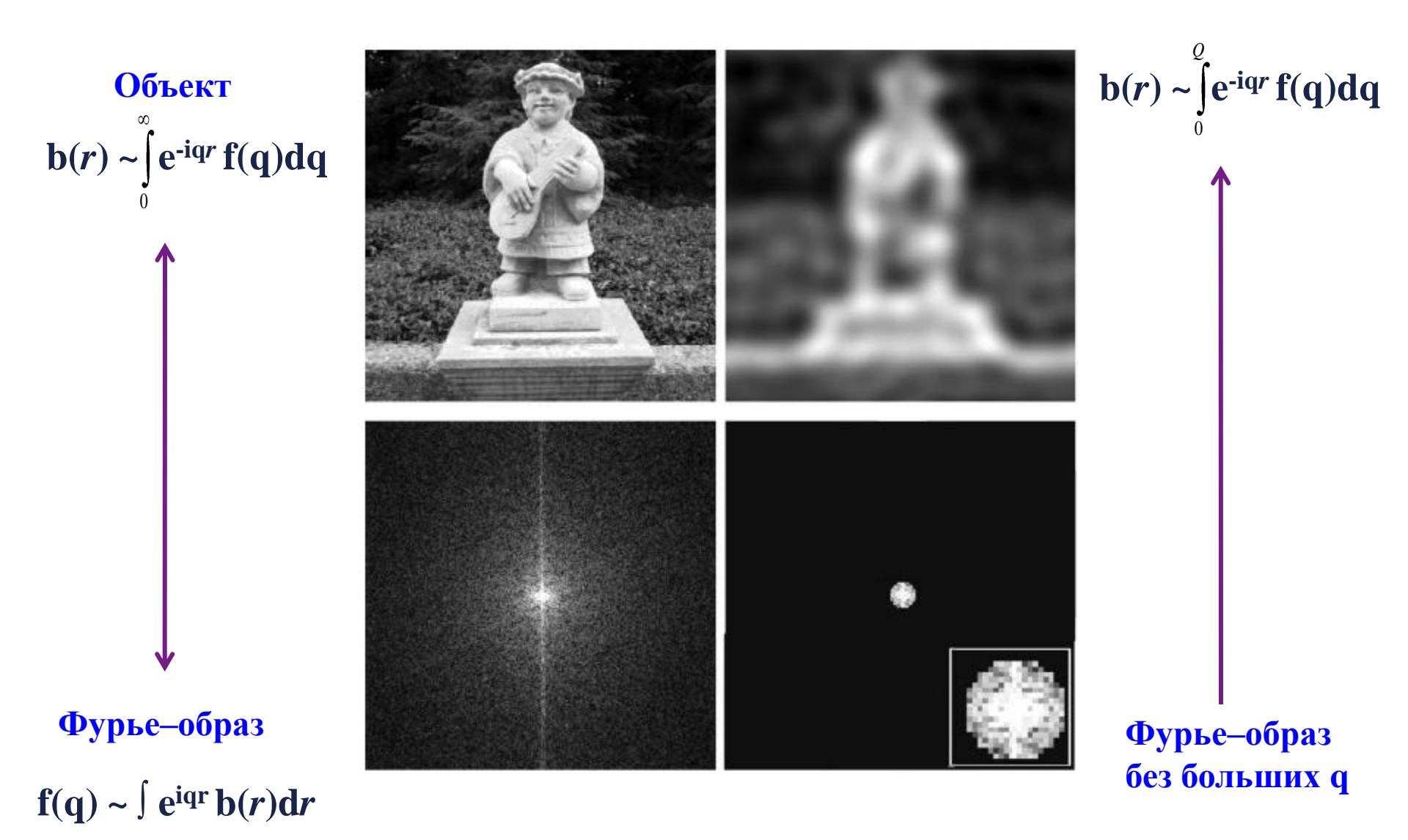
2) Влияние дифракционного предела

$$\mathbf{b}(r) \sim \int_{0}^{\varrho} \mathbf{e}^{-\mathbf{i}\mathbf{q}r} \mathbf{f}(\mathbf{q}) \mathbf{dq}$$

3) Фазовая проблема

$$f(q) = f_r(q) + if_{im}(q) = |f(q)| \cdot e^{i\phi}(q)$$

Влияние дифракционного предела на изображение



Задачи структурного анализа

Интенсивность \longleftrightarrow Рассеивающая плотность $I(\mathbf{q}) \sim |f(\mathbf{q})|^2 \sim |\int b(r) \; \mathrm{e}^{-\mathrm{i}\mathbf{q}r} \mathrm{d}r|^2 \qquad \longleftrightarrow \qquad b(r) \sim \int \mathrm{e}^{-\mathrm{i}\mathbf{q}r} f(\mathbf{q}) \mathrm{d}\mathbf{q}$

Наиболее общей задачей является восстановление рассеивающей плотности $\mathbf{b}(r)$ (атомной или магнитной) по измеренной интенсивности $\mathbf{I}(\mathbf{q})$ с атомным ($\mathbf{l_c} \leq \mathbf{0.1}$ Å) разрешением.

Степень ее разрешимости зависит от степени дальнего порядка в структуре. Для монокристаллов можно определить положения всех атомов структуры. Для макромолекул в растворах удается получить только некоторые сведения об их геометрической форме. В случае жидкостей определяются статистические параметры, извлекаемые из корреляционной функции.

Для анализа структуры кристаллов с дальним порядком в расположении атомов используется брэгговская дифракция коротковолнового излучения ($\lambda \approx 1~{\rm \AA}$).

На возможности нейтронного спектрометра влияют:

І. Параметры источника нейтронов

тип, мощность, ширина импульса, спектральное распределение по λ, ...

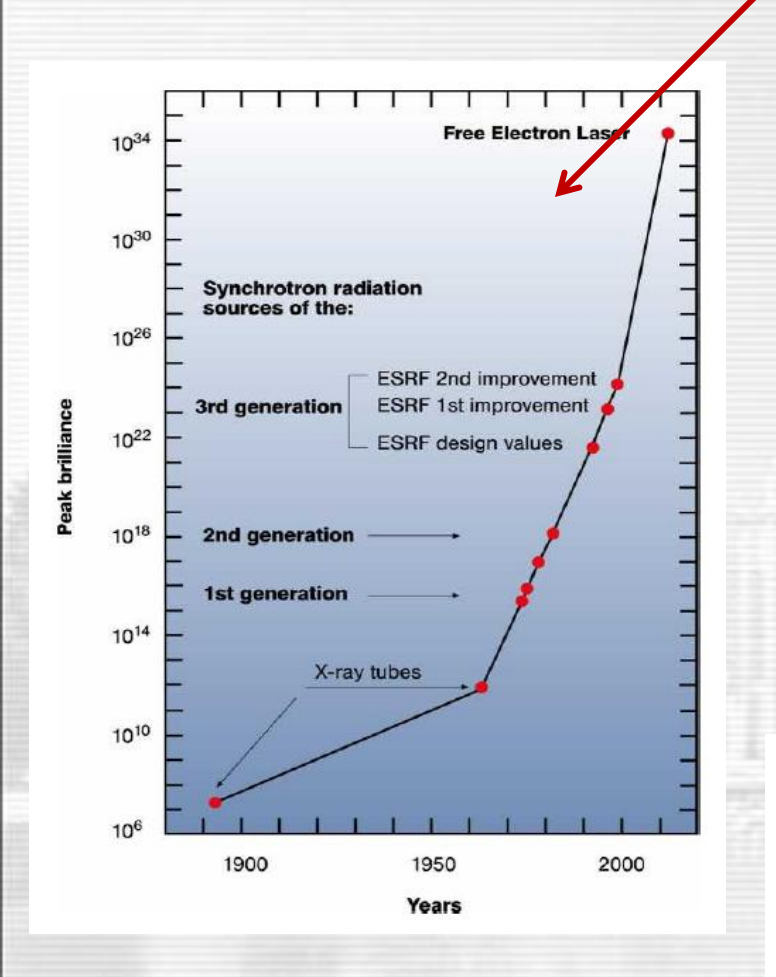
II. Конструкция спектрометра

светосила, разрешение, (Q, E)-диапазон, дополнительные устройства, ...

III. Команда на спектрометре

руководитель, опыт команды, контакты с другими центрами, ...

"Brilliance" of synchrotron and neutron sources





- > Исследовательские источники нейтронов достигли предела по потоку нейтронов.
- > Для увеличения эффективности нейтронного эксперимента мы должны улучшать качество замедлителей, нейтроноводов, монохроматоров и детекторов.
- > Факторы порядка 10, 50 или даже 100 возможны!

Нейтронные источники для исследований конденсированных сред

I. Continuous neutron sources

W = 10 - 100 MWConst in time

VVR-M, Russia
IR-8, Russia,
ILL, France
LLB, France
BENSC, Germany
FRM II, Germany
BNC, Hungary
NIST, USA
ORNL, USA
SINQ, Switzerland
PIK, Russia

II. Pulsed neutron sources

II-a. SPS

W = 0.01 - 1 MW Pulsed in time $\Delta t_0 \approx (15 - 100) \mu s$

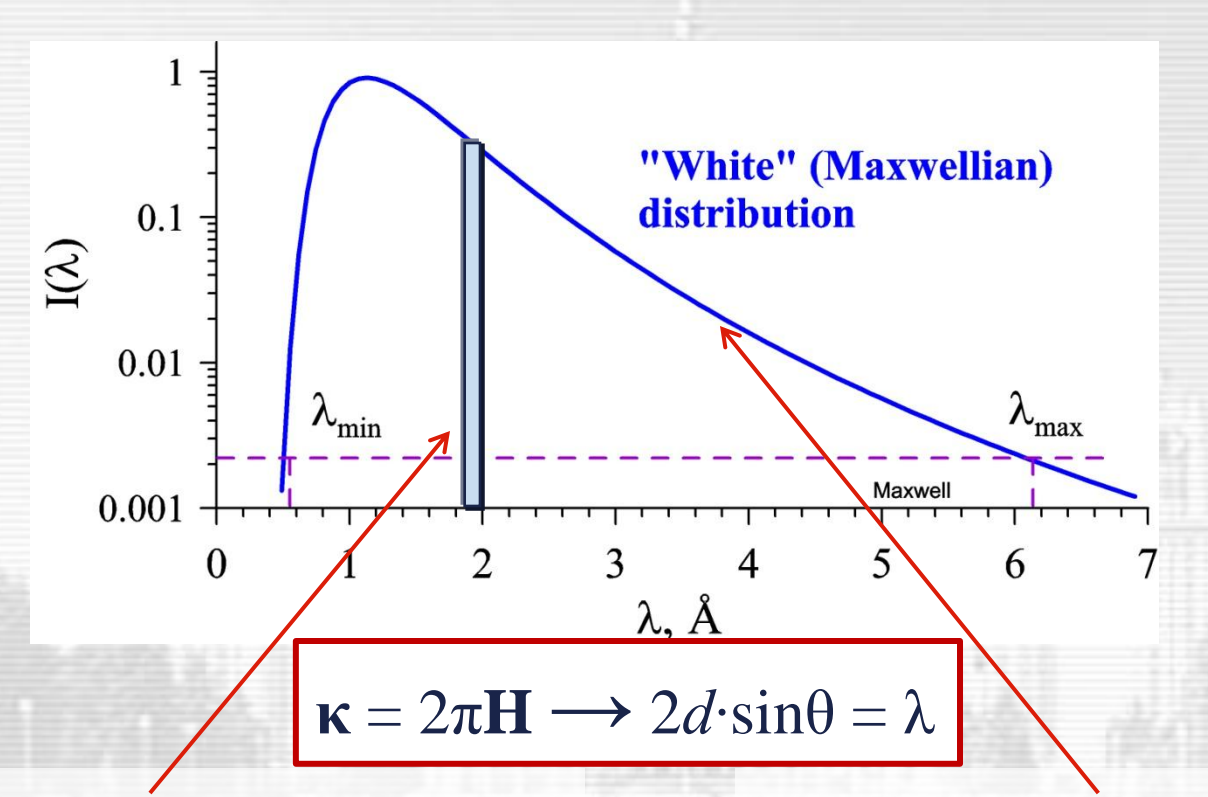
ISIS, UK
LANSCE, USA
SNS, USA
J-SNS, Japan

II-b. LPS

W = 2 - 5 MWPulsed in time $\Delta t_0 \approx (300 - 1000) \text{ }\mu\text{s}$

IBR-2, Russia ESS, Europe LANSCE (new) ???

Дифракция на стационарном реакторе и импульсном источнике нейтронов





James Clerk Maxwell 1831 – 1879 Scotland (UK)

Монохроматический пучок:

 $\lambda = \text{const} \approx 1.4 \text{ Å}, \quad \Delta \lambda / \lambda \approx 0.01$

W = (10 - 100) MW = const

Сканирование по углу рассеяния

в широком интервале

 $(\lambda_0$ -дифрактометр).

"Белый" пучок:

 $\lambda_{\min} \le \lambda \le \lambda_{\max}, \quad \Delta \lambda \approx 5 - 15 \text{ Å}$

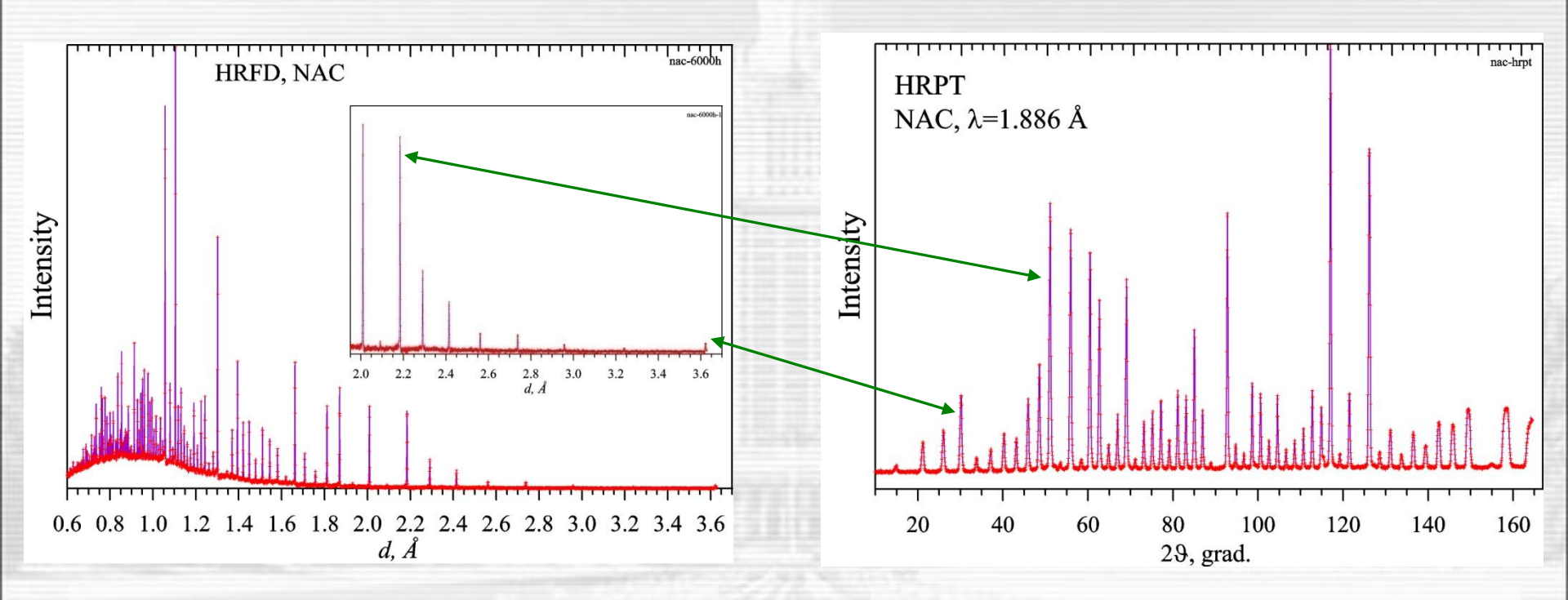
W = (0.01 - 2) MW, импульсы

Сканирование по времени пролета

(TOF), возможна фиксированная

геометрия (ТОГ-дифрактометр).

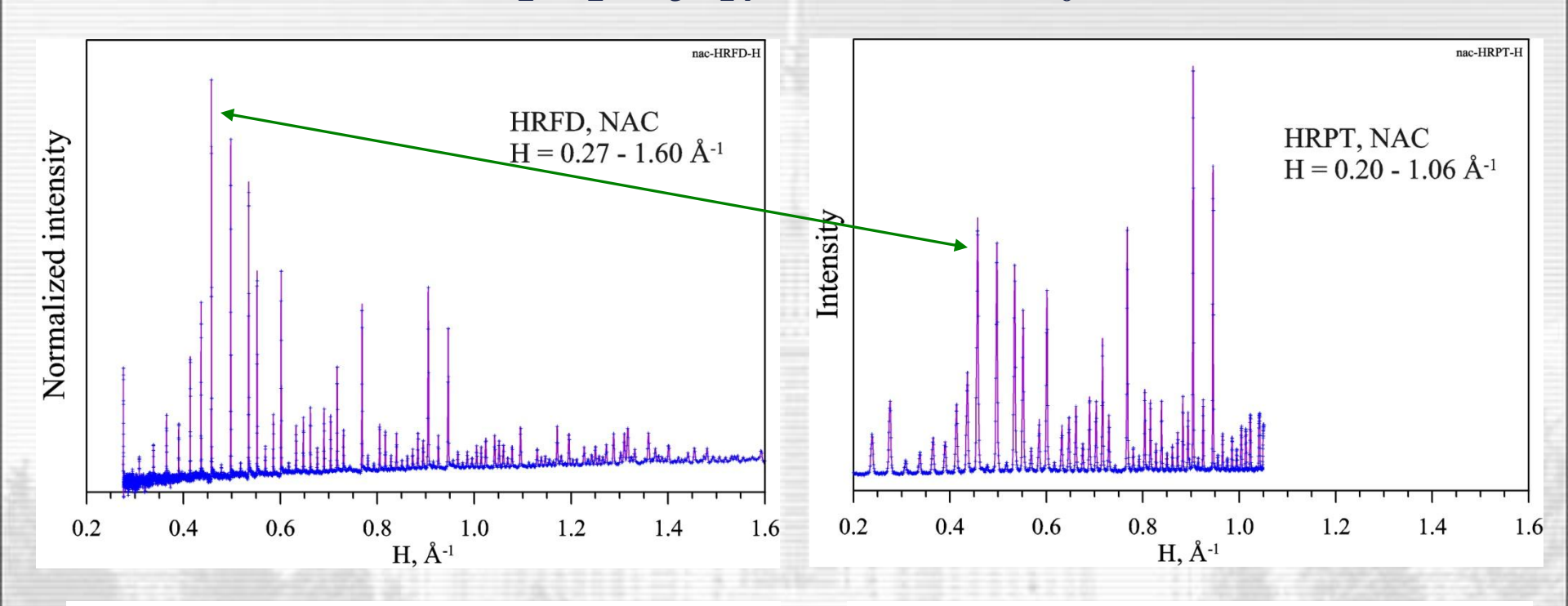
Diffraction pattern (NAC = $Na_2Al_2Ca_3F_{14}$) measured at TOF and λ = const diffractometers: <u>raw data</u>



Дифракционный спектр $Na_2Al_2Ca_3F_{14}$, измеренный на HRFD при $2\theta_0=152^\circ$. Интервал длин волн: 1.2-7.2~Å, интервал d_{bkl} : 0.7-3.7~Å.

Дифракционный спектр $Na_2Al_2Ca_3F_{14}$, измеренный на HRPT при $\lambda_0=1.886$ Å. Интервал углов рассеяния: $10-165^\circ$, интервал d_{bkl} : 1.0-10.8 Å.

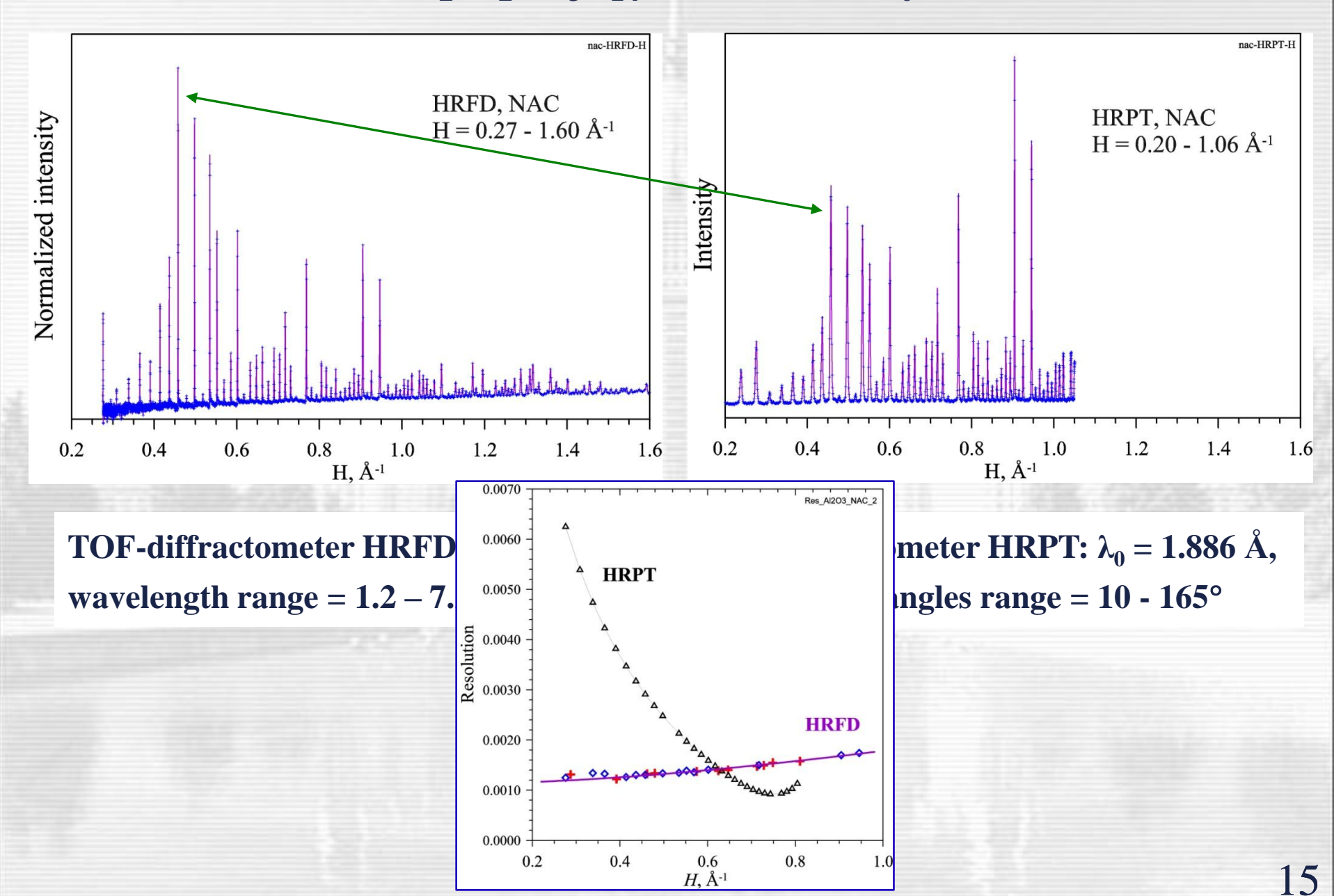
NAC-стандарт ($Na_2Al_2Ca_3F_{14}$) на TOF- и λ_0 -дифрактометрах



TOF-diffractometer HRFD: $2\theta_0 = 152^\circ$, wavelength range = 1.2 - 7.2 Å

 λ_0 -diffractometer HRPT: $\lambda_0 = 1.886$ Å, scattering angles range = 10 - 165°

NAC-стандарт ($Na_2Al_2Ca_3F_{14}$) на TOF- и λ_0 -дифрактометрах



"Пугающее" разнообразие нейтронных дифрактометров

I. <u>Тип источника нейтронов:</u>

- непрерывного действия
- импульсный

II. Метод развертки спектра:

- λ = const, развертка по углу
- ТОГ, развертка по углу и по времени

III. Тип структурной задачи:

оптимизация спектрометра по основным параметрам: светосиле, разрешению, уровню фона, диапазону переданных импульсов, ...

- 1. Монохроматический пучок, $\Phi = \Phi_0$ (используется только ~1% всего спектра)
 - 2. Диапазон длин волн ограничен $(d_{\min} > 0.7 \text{ Å}, d_{\max} < 20 \text{ Å})$
 - 3. Параллельное **2D** сканирование обратного пространства
- 4. Функция разрешения имеет минимум в зависимости от \mathbf{H}_{hkl}
 - **5.** Обязательно сканирование по углу рассеяния, **20**
- 6. Нет временной структуры исходного нейтронного пучка
 - 7. Поправки слабо зависят от 20 (прецизионность данных велика)

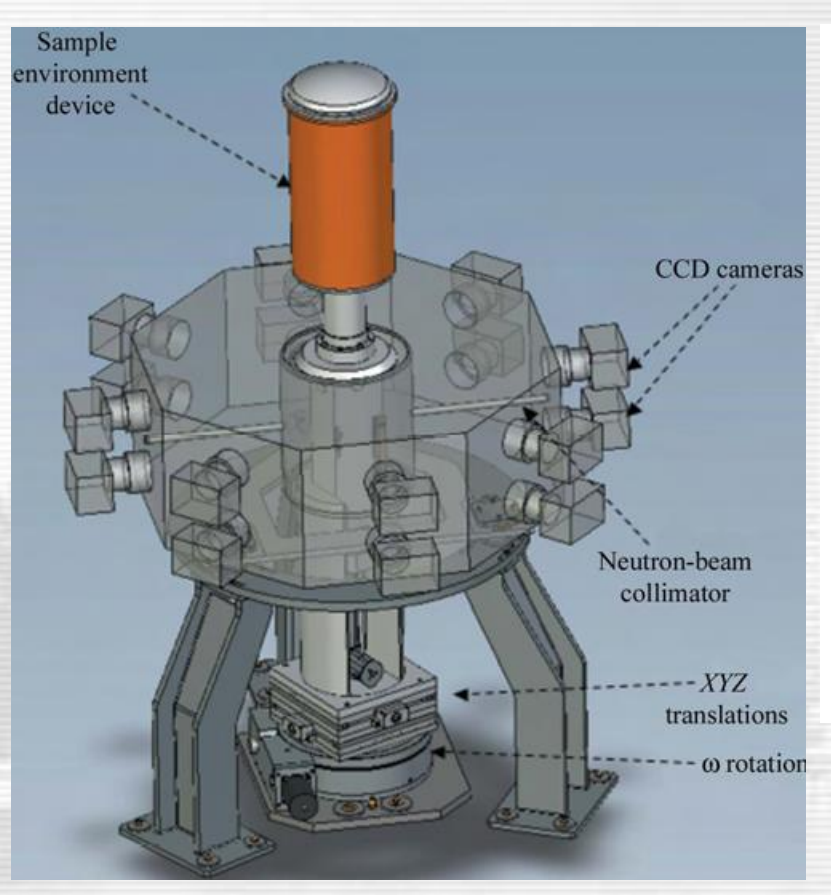
- 1. "Белый" спектр, $\Phi = \Phi(\lambda)$ (используется практически весь спектр)
- 2. Диапазон длин волн \approx не ограничен $(d_{\min} \sim 0.3 \text{ Å}, d_{\max} \sim 60 \text{ Å})$
 - **3.** Параллельное **3D** сканирование обратного пространства
- 4. Функция разрешения слабо зависит от H_{hkl}
 - 5. Информация может быть набрана при фиксированном $2\theta_0$
- **6. Возможны** синхронизованные с источником импульсные воздействия
 - 7. Поправки сильно зависят от λ (прецизионность данных понижена)

Специализация нейтронных дифрактометров

- I. Эксперимент с монокристаллом 2D ПЧД, $\Delta x < 3$ мм
- **II.** Структурный эксперимент на поликристалле высокое разрешение, $\Delta d/d \approx 0.002$, широкоапертурный ПЧД
- III. Магнитная структура (поликристалл) среднее разрешение, большие (~15 Å) $d_{\rm hkl}$
- IV. In Situ, Real Time эксперимент высокая светосила (~ 10^6 н/с), широкий интервал $d_{
 m hkl}$
- V. Высокое давление, микрообразцы высокая светосила, низкий фон
- VI. Длиннопериодные и макромолекулярные структуры среднее разрешение, очень большие (~60 Å) $d_{
 m hkl}$
- VII. Локальные искажения структуры большие переданные импульсы, $Q_{max} \sim 40~{\rm \AA}^{-1}$
- VIII. Микроструктура материалов и изделий высокое разрешение, $\Delta d/d \approx 0.004$, высокая светосила

CYCLOPS – a reciprocal-space explorer based on CCD neutron detectors

Readout speed



Test experiments with Al_2O_3 of $\varnothing 3$ mm: 9 ω positions, in 1 min each, 1082 refl. (181 independent), $R_F = 8\%$, $\chi^2 = 1.7$

Wavelength range (Å)
Incident-beam divergence ()/Å
Detector height (mm)
Detector diameter (mm)
Diameter of the sampleenvironment space (mm)
Beam diameter
Scintillator

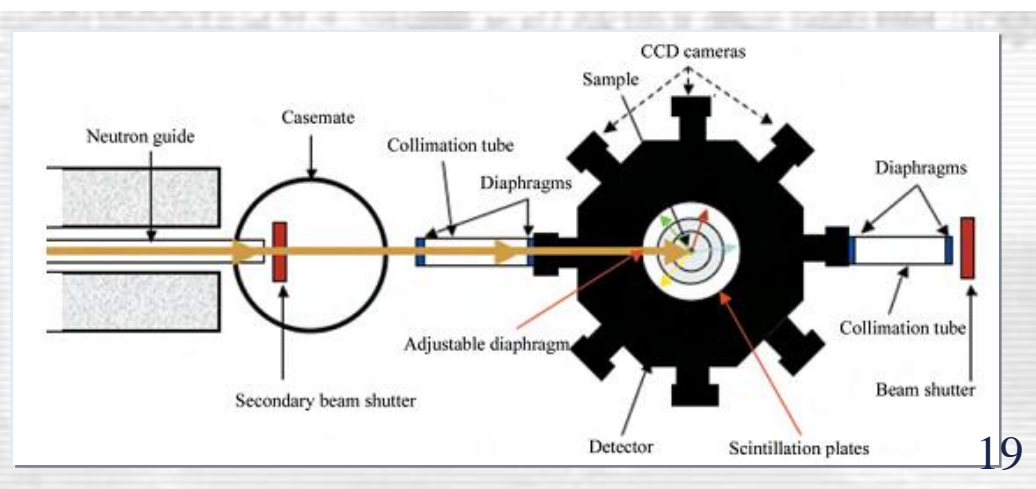
Pixel size (mm)
Number of pixels per camera
Input active area per
scintillator (mm)
Intensifier

412 400 390 Variable from 1 to 9 mm ⁶LiF/ZnS:Ag, 0.210 mm thickness on 1.15 mm Al plate 0.172 x 0.172 1200 x 960 412 x 165

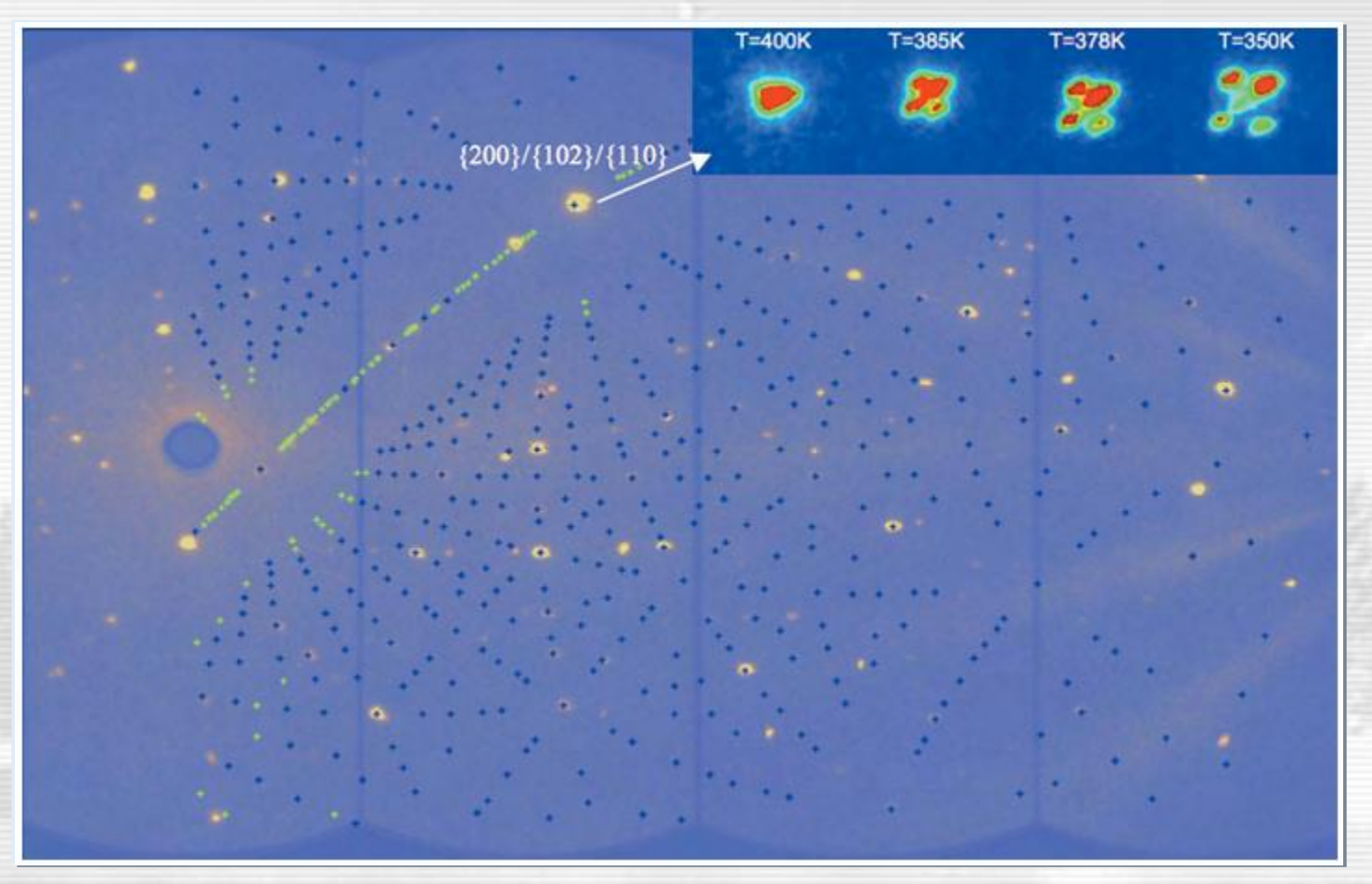
0.8 - 5.0

0.17

412 x 165 Ultra-high-resolution Gen 2 10 MHz



CYCLOPS – a reciprocal-space explorer based on CCD neutron detectors



Observed and indexed pattern from a crystal of $CuSb_2O_6$ at 400 K in the tetragonal phase, measured in 60 s using the initial configuration. The inset shows the temperature dependence of the peak shape of the $\{200\}/\{102\}/\{110\}$ composite spot of the tetragonal phase on crossing the structural transition to the monoclinic phase.

TOF high-resolution magnetic diffractometer WISH (ISIS, UK)

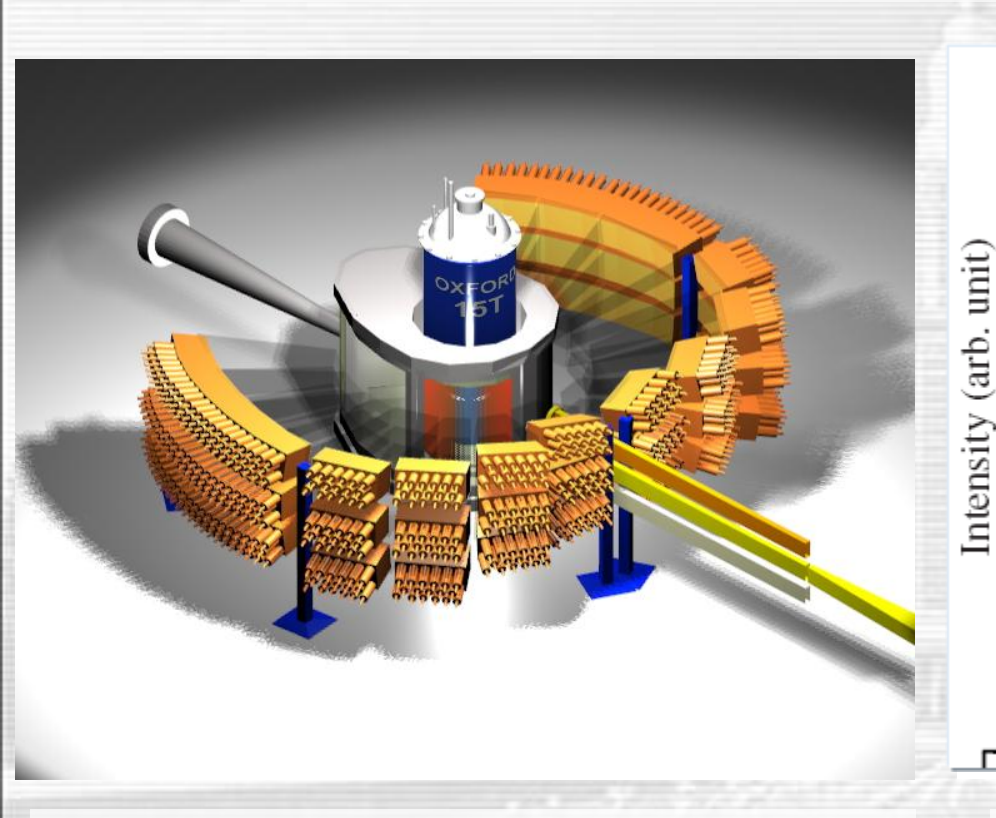
1.6

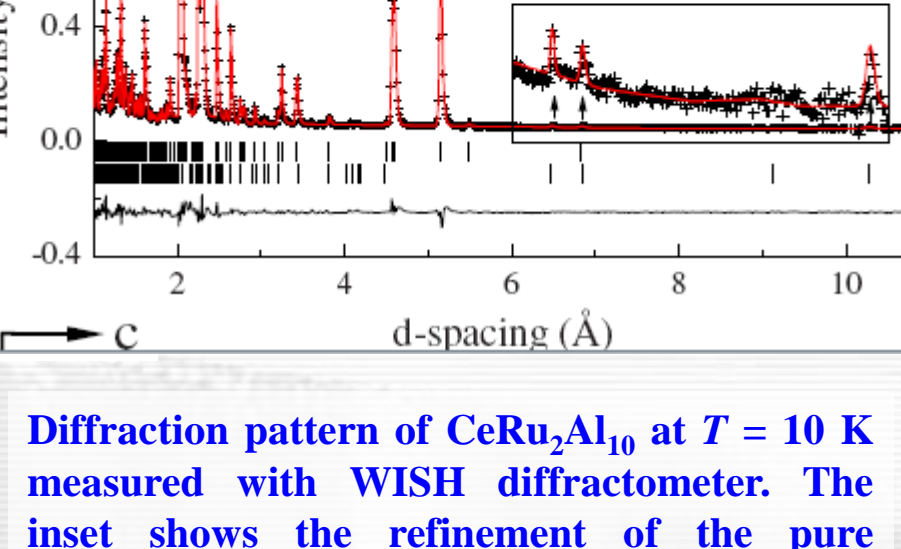
1.2

0.8

| |||

for simultaneous refinement of crystal and magnetic structures





Detector system of the WISH diffractometer. ZnS scintillator detectors are covering all scattering angles between 10° and 175°.

inset shows the refinement of the pure magnetic scattering.

from D. D. Khalyavin et al., Phys. Rev. B (2010)

Развитие метода рассеяния нейтронов базируется на:



Ballistic neutron guides
Neutron lenses
Focusing monochromators
Spin precession techniques
Correlation (Fourier) technique
Multiple frame overlap

Multi-spectral extraction

Supermirror neutron guides

Новых возможностях

New generation of pulsed neutron sources

New detector generation

PDF analysis, $Q_{\text{max}} \ge 50 \text{ Å}^{-1}$

• • •

Нейтронные источники: что нового?

Появление импульсных источников 3-го поколения (W > 1 MW)

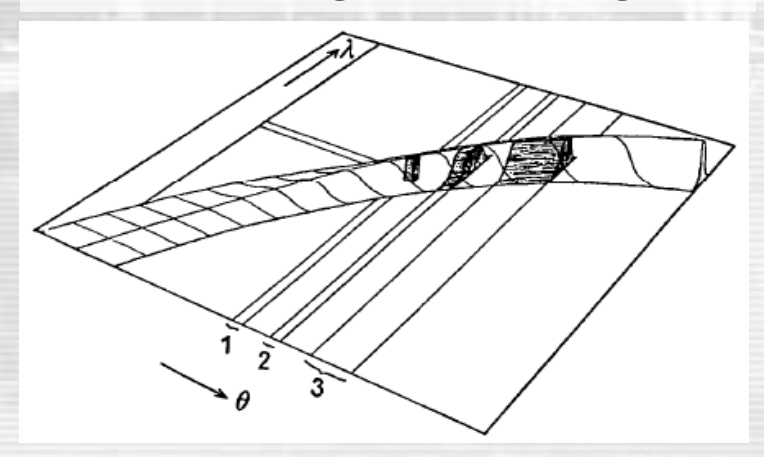
| I. JINR, Dubna, Russia, IBR-1 (1961 - 1980, 1 – 15 kW) closed long pulse II. Tsukuba, Japan, KENS, (1980, 4 kW) closed short pulse III. ANL Argonne, USA, IPNS (1981, 7 kW) closed |
|--|
| II. Tsukuba, Japan, KENS, (1980, 4 kW) closed short pulse |
| short pulse |
| - |
| III ANI Argonne USA IPNS (1981-7 kW) closed |
| iii. Mil Migomic, Coli, II No (1701, 7 KVV) |
| short pulse |
| IV. JINR, Dubna, Russia, IBR-2 (1984, 2000 kW) operational |
| long pulse |
| V. RAL, UK, ISIS (1985, 200 kW) operational |
| short pulse |
| VI. Los Alamos, USA, MLNSC (1985, 50 kW) operational |
| short pulse |
| VII. Oak Ridge, USA, SNS (2008, 1200 kW) operational |
| short pulse |
| VIII. Tokai, Japan, J-SNS (2008, 1000 kW) operational |
| short pulse |
| IX. Beijing, China, Ch-SNS (2017, 200 kW) under construction |
| short pulse |
| X. Lund, ESS (2020, 5000 kW) under construction |
| long pulse |

Метод времени пролета: ТОF-дифрактометр

F. Mezei et al. "TOF Neutron Diffraction for Long Pulse Neutron Sources" Neutron News 23(1) (2012) 29-31.

"The Time-of-Flight (TOF) method for neutron diffraction was proposed half a century ago by Buras and Leciejewicz as a very efficient alternative to the crystal monochromator technique.

A surface illustrating the Bragg reflectivity as a function of angle θ and wavelength λ



1947: E. Fermi et al. "A Thermal Neutron Velocity Selector and Its Application" Phys. Rev. 72 (1947) 193-196

1954: P.A. Egelstaff, 3rd IUCr Congress, Paris, 1954.

1956: R.D. Lowde "A New Rationale of Structure-Factor Measurement in Neutron-Diffraction Analysis" Acta Cryst. 9 (1965) 151-155.

1961: P.A. Egelstaff "General discussion of TOF measurements in solids and liquid state physics" in "Neutron TOF Method" Ed. J. Spaepen, pp. 69-74 (1961).

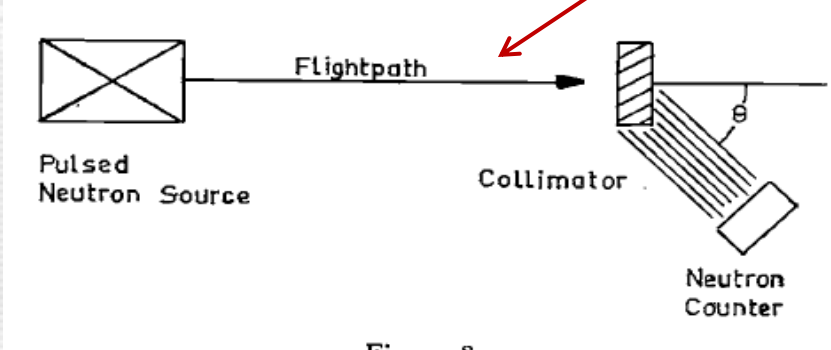


Figure 2
Angular Distribution Experiment Using Time of Flight

Несколько цитат

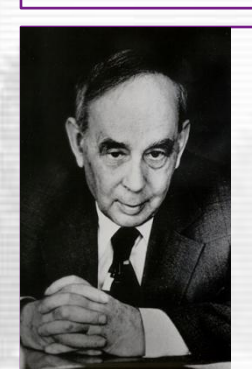
R.D. Lowde, Acta Cryst. (1956) p. 151:

A pulsed source of slow neutrons, in conjunction with time-of-flight apparatus, is ideally suited to such a technique.

Egelstaff (1953, 1954) has repeatedly emphasized that electron accelerators are capable of providing mean fluxes of thermal neutrons for these purposes equal or superior to the fluxes of modem reactors.



P. A. Egelstaff, in "Neutron
TOF Method (1961), p. 70:
In the case of neutrons, one can
consider the time-of-flight technique
as an alternative to crystal
diffraction. The pulsed neutron
source may be an accelerator source
or a chopper based on a reactor.



И.М. Франк "Перспективы использования нейтронной спектроскопии" ЛНФ (1970), ЭЧАЯ, 2 (1972), с. 844: Уже с самого начала при обсуждении работ, планируемых на ИБР, было очевидно, что в

дифракции при заданном угле отражения нет необходимости в монохроматизации нейтронов, т.к. различные нейтроны, удовлетворяющие условию Брэггов, имеют различную скорость и разделены по времени пролета.

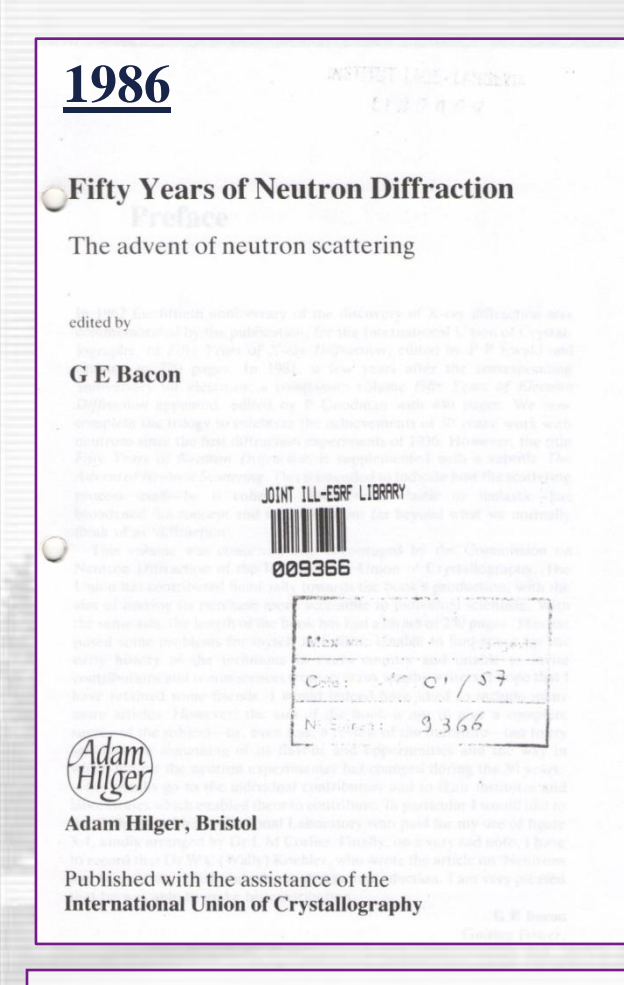


B. Buras, Nucleonika, 9 (1964) p. 524:

In the case of neutrons, one can consider the time-of-flight technique as an alternative to the above mentioned conventional method.

This has been pointed out independently by P.A. Egelstaff and in the course of a discussion on the program for the fast pulsed reactor in the JINR in Dubna.

1963: визит Б. Бураса в Дубну



- 8 Changing Techniques
- 8.1 The Time-of-flight Diffraction Method—Reminiscences

B Buras

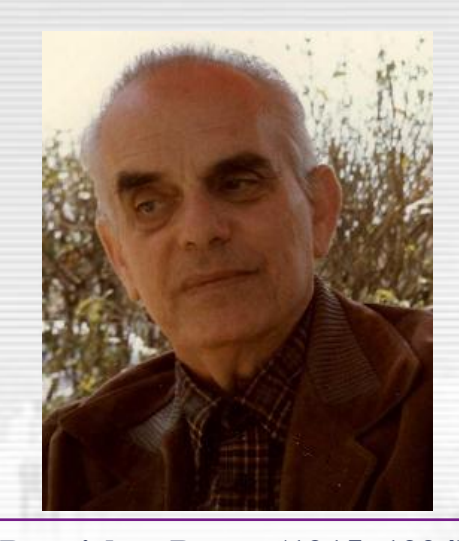
Risø National Laboratory, Denmark

The year of 1955 was the year of the first 'Atoms for Peace' Conference in Geneva and the beginning of a 'reactor boom'. Many countries decided to acquire nuclear research reactors and so did Poland. It was a 2 MW reactor with enriched uranium, moderated and cooled by light water and a thermal neutron flux of about 10^{13} neutrons cm⁻²s⁻¹.

It was decided to place the reactor at Swierk near Warsaw, where the Institute of Nuclear Research had just been organised. At that time I was in charge of a small laboratory within the Institute and in view of the great challenge of the expected new research tool I decided to shift from semiconductor physics to neutron diffraction. Several colleagues joined me, and although we had no experience in this field, we nevertheless began construction of a double-axis crystal diffractometer. Therefore, during a visit to the United States in 1956, I took the opportunity of visiting Brookhaven National Laboratory where, among others, Donald Hughes and Harry Palevsky were doing neutron inelastic scattering experiments using the time-of-flight (TOF) method, and there I had my first direct encounter with this technique.

On my way back from the USA I visited George Bacon at Harwell and received from him useful advice concerning the design of our neutron diffractometer. His instrument was already working and both the visit to Harwell and Bacon's newly published book *Neutron Diffraction* played an important role in acquiring the necessary know-how in this new field. In 1958 the reactor at Swierk became operational and neutron diffraction research started.

In 1960 I took part in a small seminar in Paris devoted to the TOF technique, used at that time solely for neutron cross section measurements

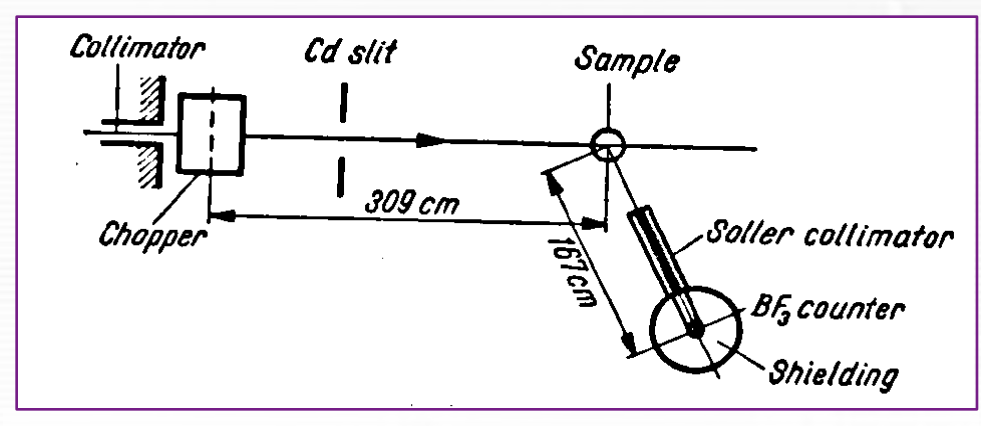


Bronislaw Buras (1915–1994) One of the inventors of the time-of-flight (TOF) method for neutron diffraction. In 1971 Professor B. Buras immigrated with his family to Denmark.

The present comfortable hotel Dubna did not exist and we had to stay in a kind of hostel in the Joliot-Curie street, two in a small room with iron beds and straw mattresses. In a tiny corridor was a sink with cold water. But, we had a stove which always heated the room more than adequately, a very important factor in Russian winters.

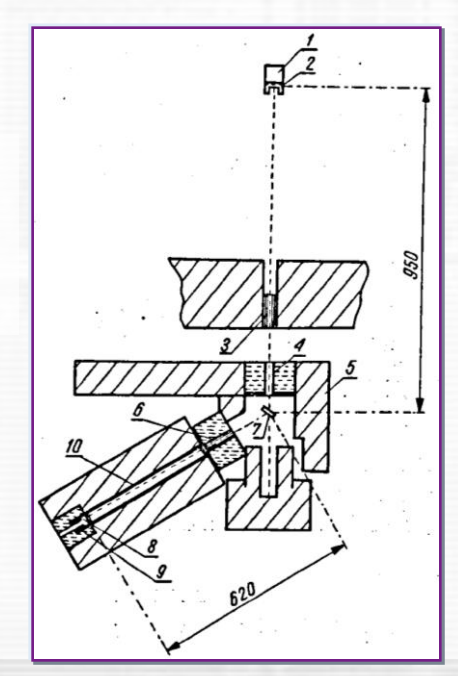
Despite these uninspiring conditions, and with the help of our Russian colleagues, we were able to build a TOF spectrometer and take measurements. Their quality was much better than those obtained at Swierk.

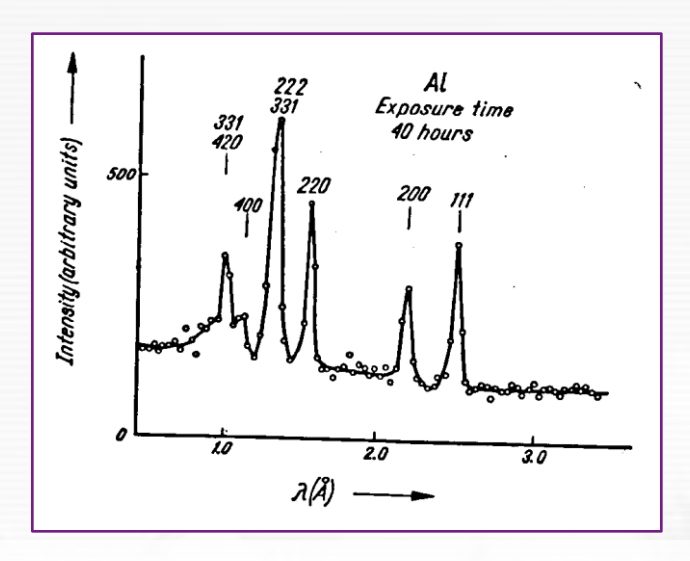
Первые нейтронные дифракционные ТОГ-спектры (1963)



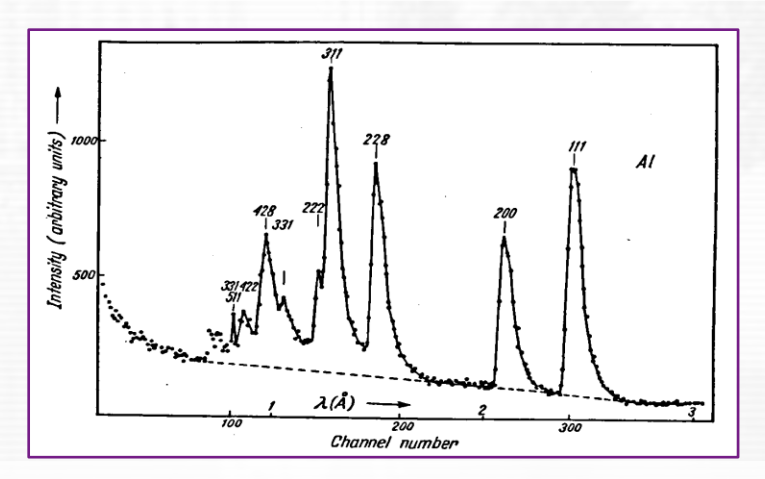
Experimental set-up for TOF neutron diffraction at the EWA, 2 MW reactor (Swierk, Poland) (1963)

The geometry of the experiment using the pulse reactor IBR-1: L (reactor-sample) = 950 cm, L (sample-det.) = 620 cm (1963)





The first TOF neutron diffraction pattern measured with Al-powder in 40 hours



The first TOF diffraction pattern measured at the IBR-1 pulsed reactor with W = 1 kW

ТОГ-метод, что, где, когда?

| 1954 | P. Egelstaff | Идея TOF-дифракции нейтронов, IUCr Congress | |
|-------------|----------------|---|-------------|
| 1956 | R.D. Lowde | Теоретическое обоснование, Acta. Cryst. 9 (1956) 151 | |
| 1963 | B. Buras | Первые эксперименты в Сверке (Польша) | P. Egelstaf |
| 1963 | Дубна Пе | рвые эксперименты на ИБР-1 (Buras, Нитц, Sosnowska, Шапиро) | |
| 1967 | J. Carpenter & | & A. Holas "Focusing of the TOF-diffractometer" | 17 |
| 1968 | R.M. Brugger | "We need more intense thermal-neutron beams" | 3 |
| | | | Ф.Л.Шапир |
| 1977 | ZING-P' | Первый spallation source, Argonne (USA) | 35.35 |
| | | 1980 – KENS, 1981 – IPNS, 1985 – ISIS, 1985 – MLNSC | 1000 |
| 1084 | ИБР-2 | Первый импульсный источник 3-го поколения | |
| 1704 | HD1 -4 | первый импульсный источник 3-10 поколения | |

Первый RTOF-дифрактометр на импульсном источнике ИБР-2

1984 mini-SFINKS Первый RTOF-дифрактометр, ПИЯФ, Гатчина

1994 HRFD

J. Carpenter

Работы Ф.Л. Шапиро по дифракции нейтронов

1. "Метод времени пролета для исследования кристаллических структур с помощью нейтронов и его возможности в связи с высокопоточными реакторами"

с Б.Бурасом, Е.Лециевичем, В.В.Нитцем, И.Сосновска, Е.Сосновски 1964 обзорный доклад (Nukleonika)

- 2. "Исследование кристаллической структуры веществ дифракцией нейтронов" с В.В.Нитц, И.Сосновска, Е.Сосновски (Сообщение ОИЯИ) 1965 описание первых экспериментов, выполненных в 1963-64 гг.
- 3. "Об измерении фаз структурных амплитуд" новый метод определения фазы для F(Q) (ЭЧАЯ)

1970



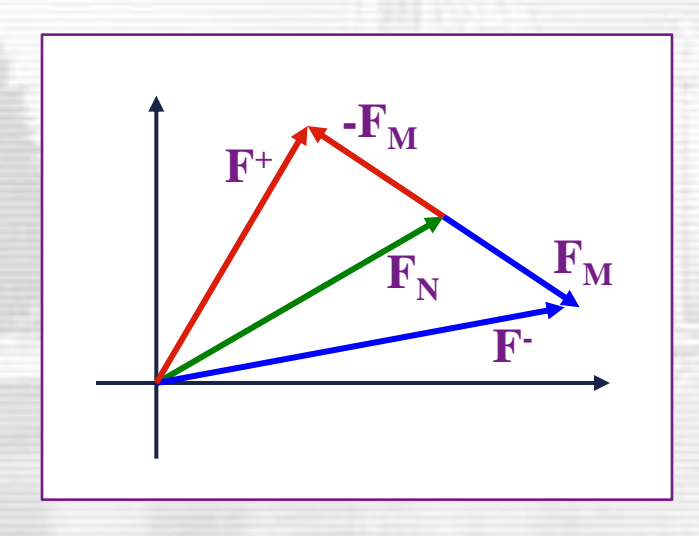
G.E. Bacon, Р.П. Озеров, I. Sosnowska, J. Sosnowski (Дубна, 1965)

Структурные факторы кристалла

"Об измерении фаз структурных амплитуд" ОИЯИ, Дубна, 1970

доложена на Рабочем совещании, 13-16.10.1970, Дубна

$$\begin{split} \mathbf{F}(\mathbf{H}) &= \mathbf{\Sigma} \ \mathbf{b_j} \mathbf{exp}(2\pi i \mathbf{r_j} \mathbf{H}) = |\mathbf{F}| \cdot \mathbf{e}^{i\phi} \qquad |\mathbf{F}|^2 \sim I \ (\text{интенсивность пика}) \\ |\mathbf{F}|^2 &= |\mathbf{F_N} + \mathbf{F_M}|^2 \ \mathbf{uлu} \ |\mathbf{F_N} - \mathbf{F_M}|^2 = |\mathbf{F_N}|^2 + |\mathbf{F_M}|^2 \qquad |\mathbf{F_N}|^2 \cdot |\mathbf{F_M}|^2 \cdot \mathbf{cos}(\phi_N - \phi_M) \end{split}$$



- 1. F_N , без магнитного поля
- 2. F, два направления поля
- $3. \quad \phi_N \phi_M = \quad \alpha$

"Управляемая" амплитуда рассеяния!



На семинаре



На вечеринке, 1970



В Бакуриани, 1963

Дифракция на импульсных реакторах ИБР-1 – ИБР-30

NUCLEAR INSTRUMENTS AND METHODS 69 (1969) 173-180; © NORTH-HOLLAND PUBLISHING CO.

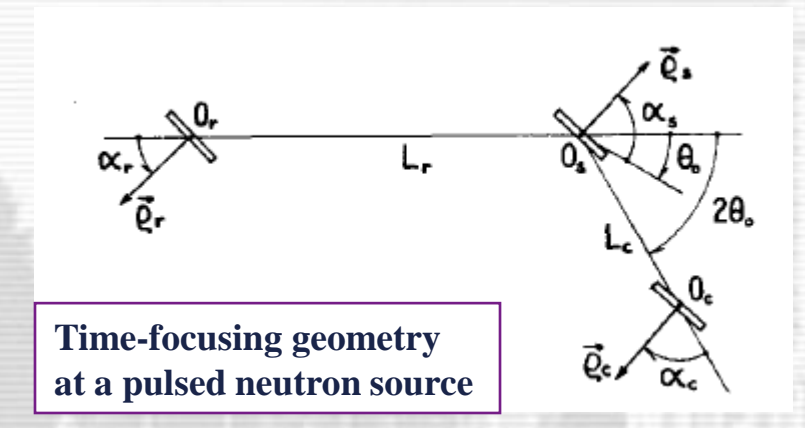
FOCUSING OF A TIME-OF-FLIGHT DIFFRACTOMETER FOR STRUCTURE ANALYSIS. THE EXPERIMENTAL CHECK

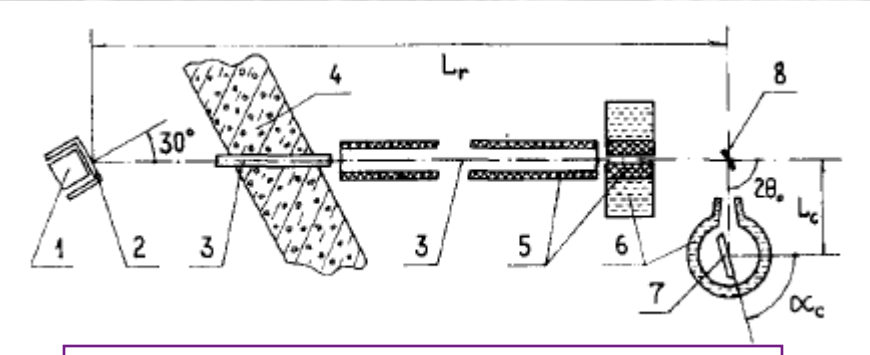
A. HOLAS*, J. HOLAS, E. MALISZEWSKI* and L. SEDLAKOVA †

Joint Institute for Nuclear Research, Dubna, USSR

Received 26 October 1968

An experimental check of focusing the neutron time-of-flight diffractometer for crystal structure analysis is presented. The obtained results proved the formulae for focusing. The intensity of the focused diffractometer was increased by an order of magnitude as compared with the previous diffractometer (with collimators) of the same resolution.





The first time-focused TOF diffractometer at the IBR pulsed neutron source (Dubna)

Nuclear Instruments and Methods 193 (1982) 617-621 North-Holland Publishing Company 617

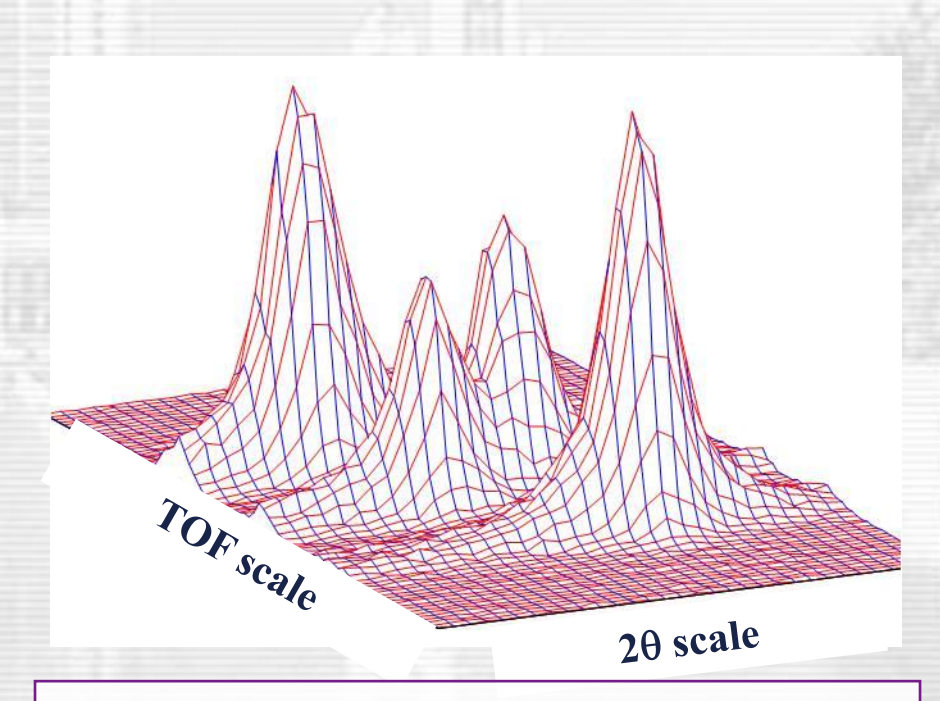
A NEUTRON TIME-OF-FLIGHT DIFFRACTOMETER WITH A ONE-DIMENSIONAL POSITION SENSITIVE COUNTER

A.M. BALAGUROV, V.I. GORDELIY, M.Z. ISHMUKHAMETOV, V.E. NOVOZHILOV, B.N. SAVENKO and V.D. SHIBAEV

Laboratory of Neutron Physics, Joint Institute for Nuclear Research, Dubna, U.S.S.R.

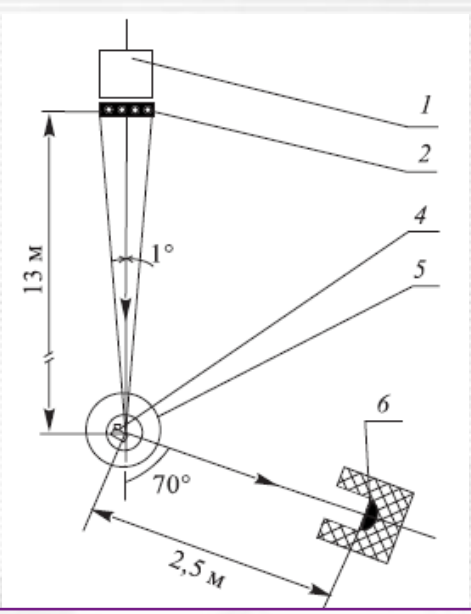
Received 20 March 1981

A neutron TOF diffractometer using one-dimensional position-sensitive 3 He counter is described. The position readout uses a resistive wire with charge division to detect the position. For calculations a digital processor is used. As an example the ferroelectric KD_2PO_4 is investigated and results are given.



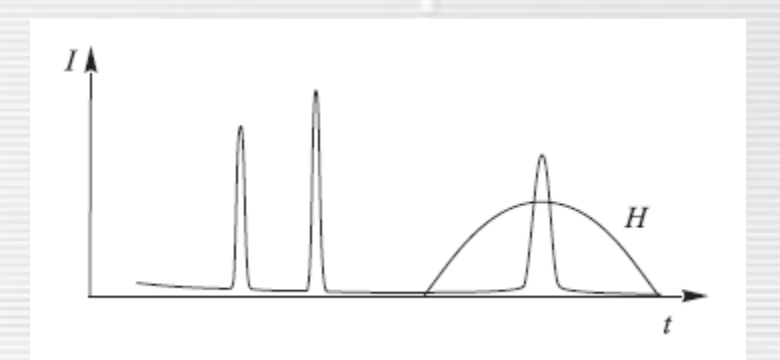
Сканирование вдоль TOF и 20 осей. Несколько тысяч точек измеряются одновременно.

Дифракция в импульсных магнитных полях: В.В.Нитц

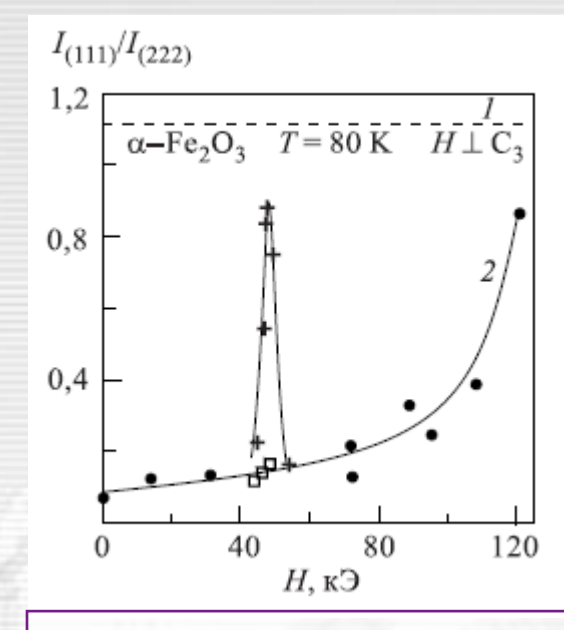


магнитным полем на ИБР-30.

Геометрия экспериментов с



Дифракционные пики от монокристалла и импульс магнитного поля. Измеряется зависимость интенсивности пика от амплитуды импульса поля.



Аномальное увеличение интенсивности пика (111) при амплитуде поля 49.5 кЭ.

ФИЗИКА ЭЛЕМЕНТАРНЫХ ЧАСТИЦ И АТОМНОГО ЯДРА 2001. Т. 32. ВЫП. 4

УДК 539.27

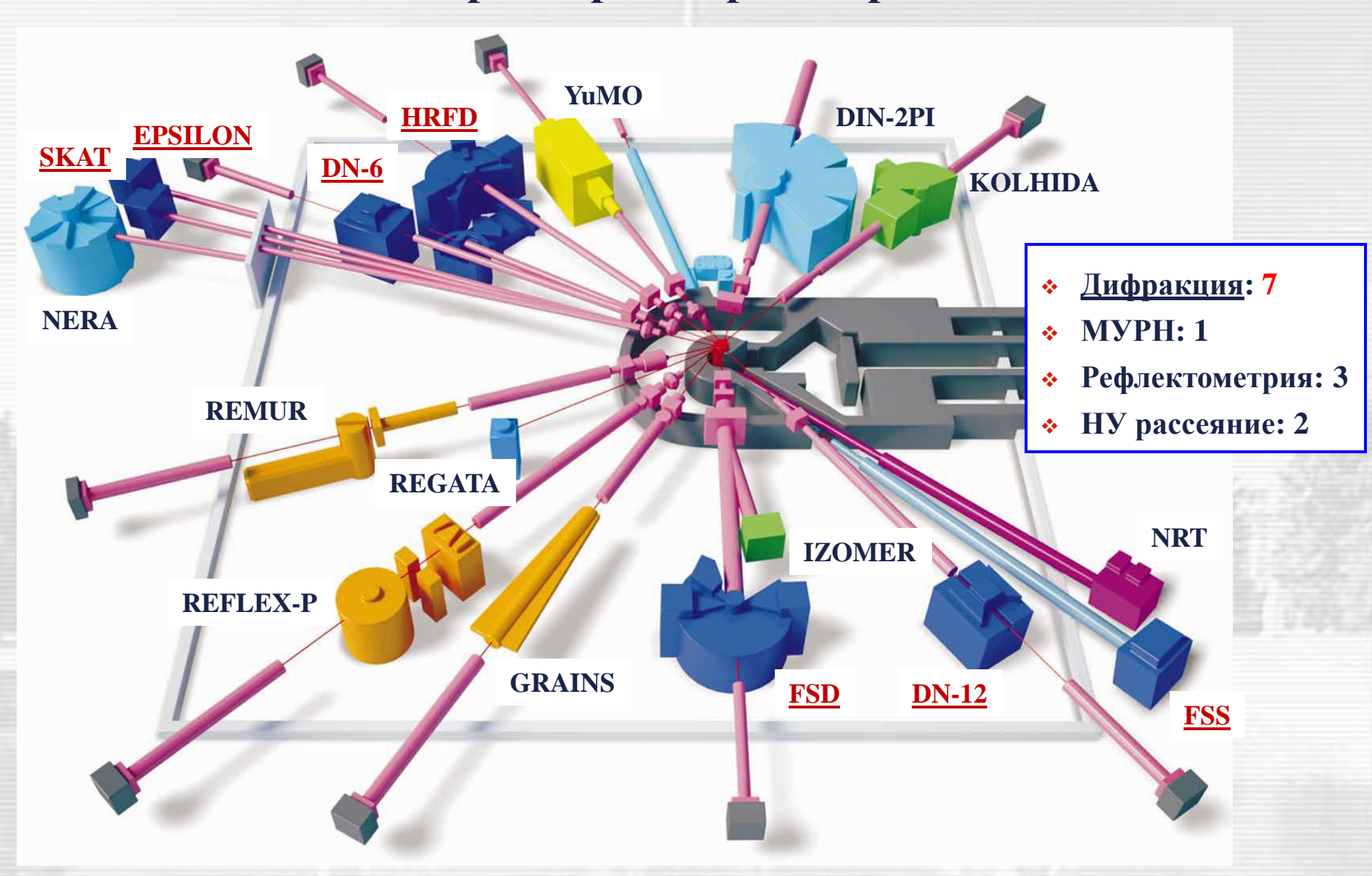
НЕЙТРОННЫЕ ИССЛЕДОВАНИЯ МАГНИТНЫХ СВОЙСТВ КРИСТАЛЛИЧЕСКИХ ВЕЩЕСТВ С ИСПОЛЬЗОВАНИЕМ ИМПУЛЬСНОГО МАГНИТНОГО ПОЛЯ

B.B.Humu

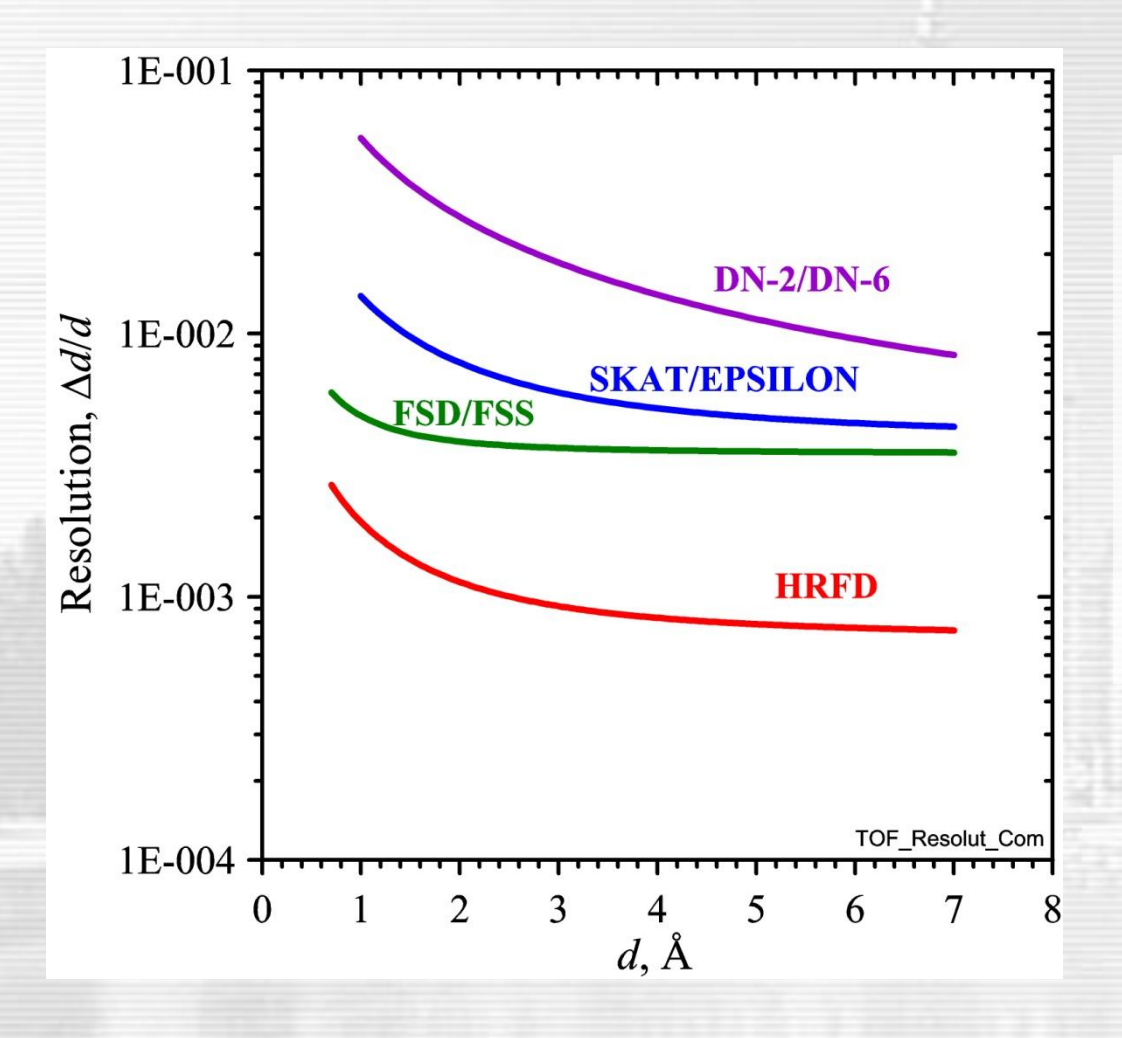
Объединенный институт ядерных исследований, Дубна

До 1990 года нейтронные исследования с импульсным магнитным полем в ЛНФ ОИЯИ оставались единственными в мире. Только затем начались работы на источнике КЕК (Япония) и реакторе TRIGA (Вена) с полями до 160 кЭ и 230 кЭ, соответственно.

Спектрометры на реакторе ИБР-2



Оптимизация дифрактометров по разрешению на ИБР-2

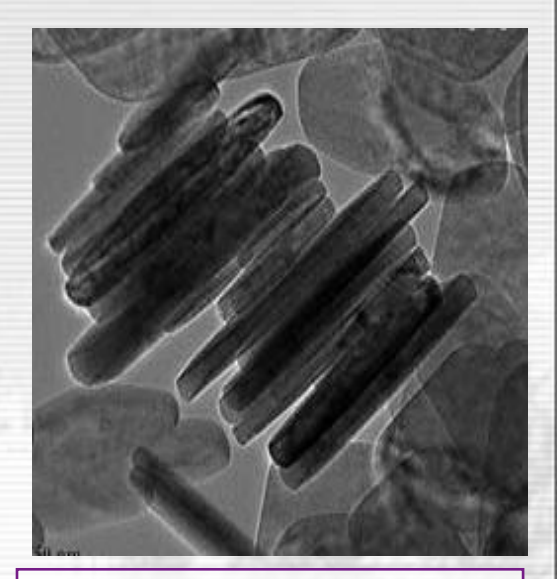


| HRFD | поликристаллы |
|----------------|---------------------|
| FSD | напряжения |
| FSS | напряжения |
| DN-2 | real-time, мембраны |
| DN-6 | микрообразцы |
| Epsilon | напряжения |
| SKAT | TEKCTVILI |

Нейтронный дифракционный анализ микроструктуры кристаллических материалов

Микроструктура кристаллического материала:

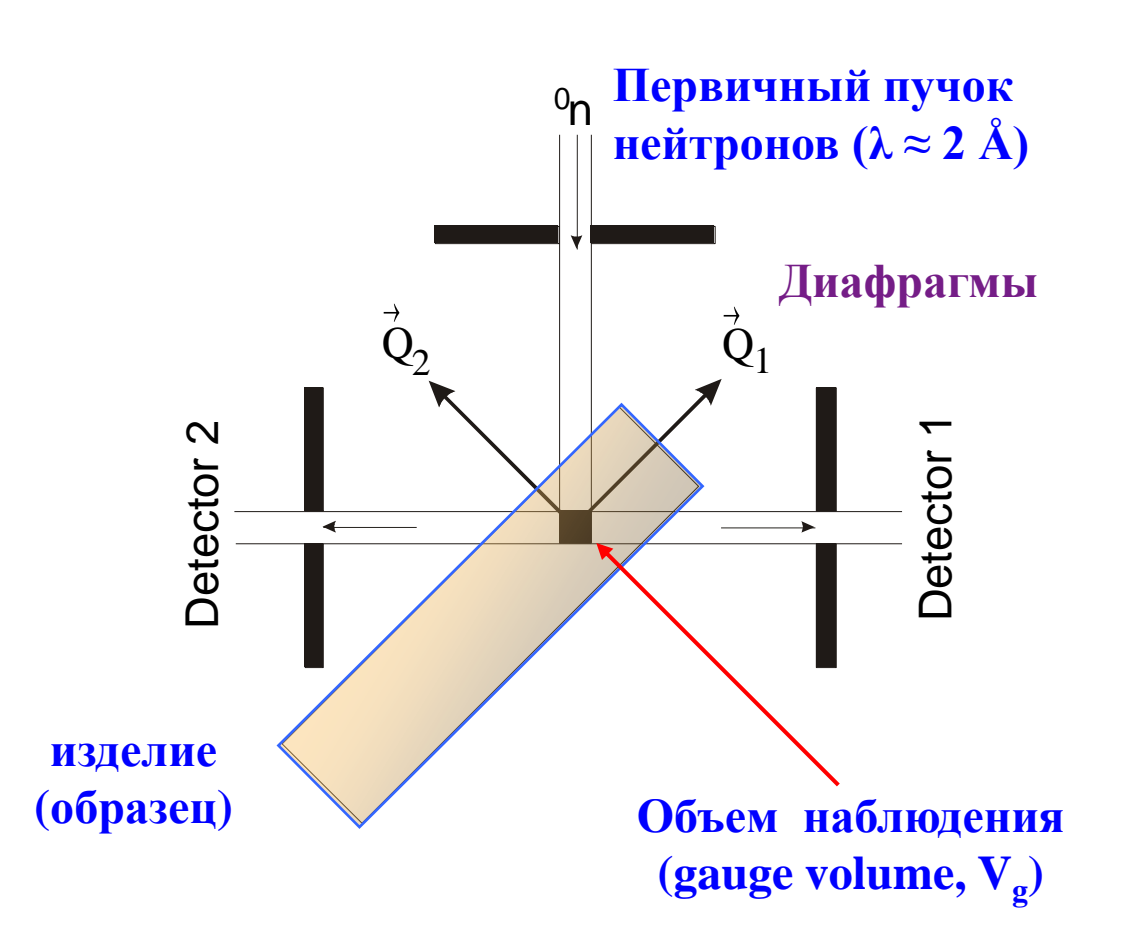
- ❖ уровень микронапряжений в кристаллитах
- * средний размер и форма областей когерентного рассеяния
- распределение областей по размерам
- * распределение макронапряжений в объемном материале
- * кристаллографическая текстура



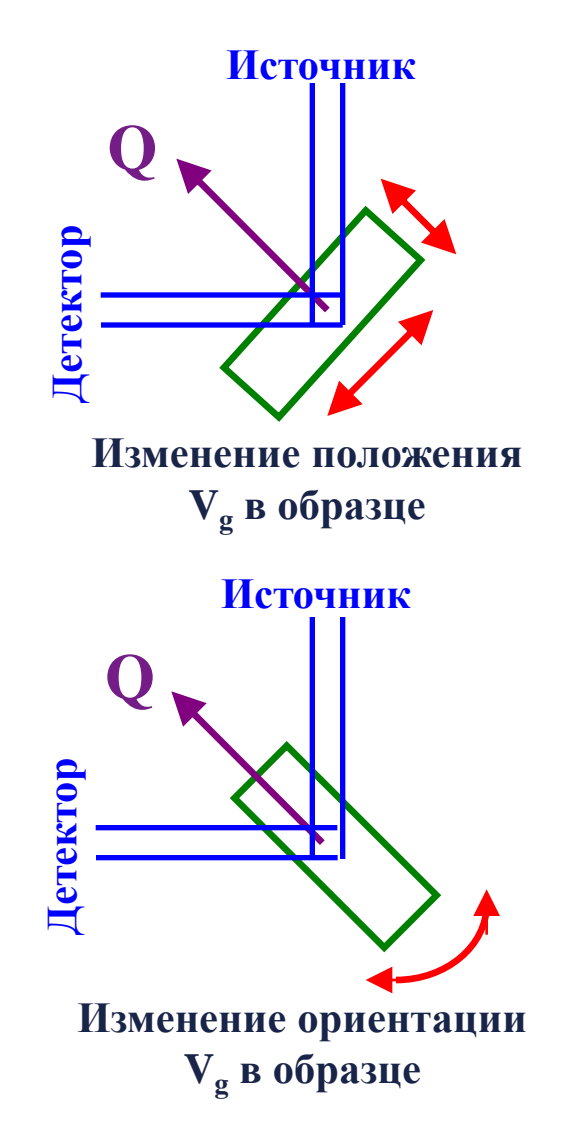
Нанодиски в β -Ni(OH)₂ $L_{ab} = 150$ nm, $L_c = 20$ nm



Измерение внутренних макронапряжений

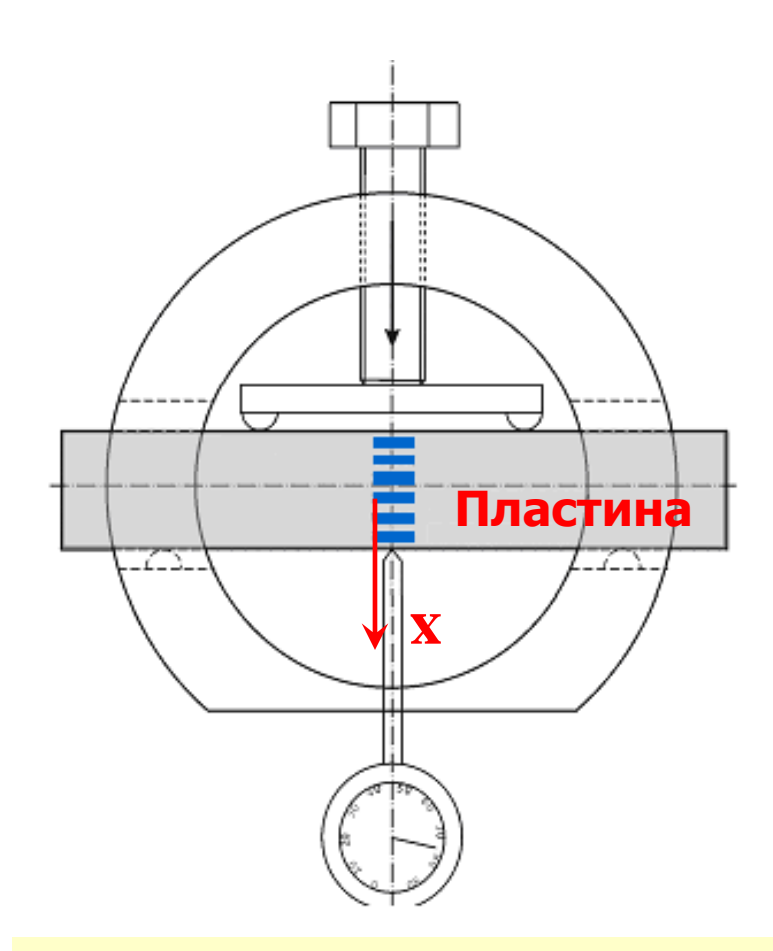


Использование $\pm 90^{\circ}$ -детекторов позволяет определять деформации в двух направлениях Q_1 и Q_2 .

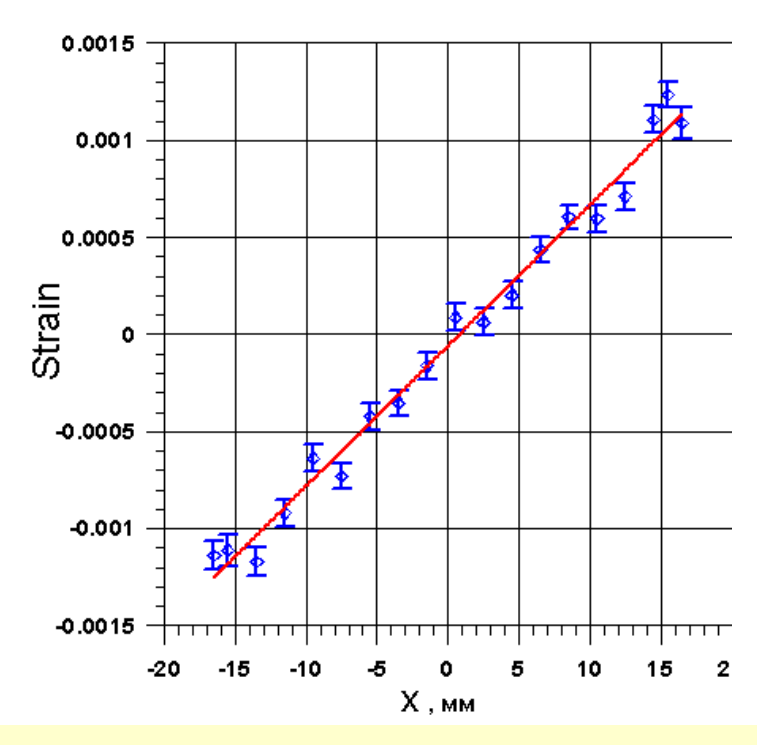


Макронапряжения:

калибровочный эксперимент с 4-х-точечным изгибателем



Четырехточечный изгибатель - для создания контролируемого изгиба пластины. Показаны точки, лежащие вдоль линии нагружения образца.

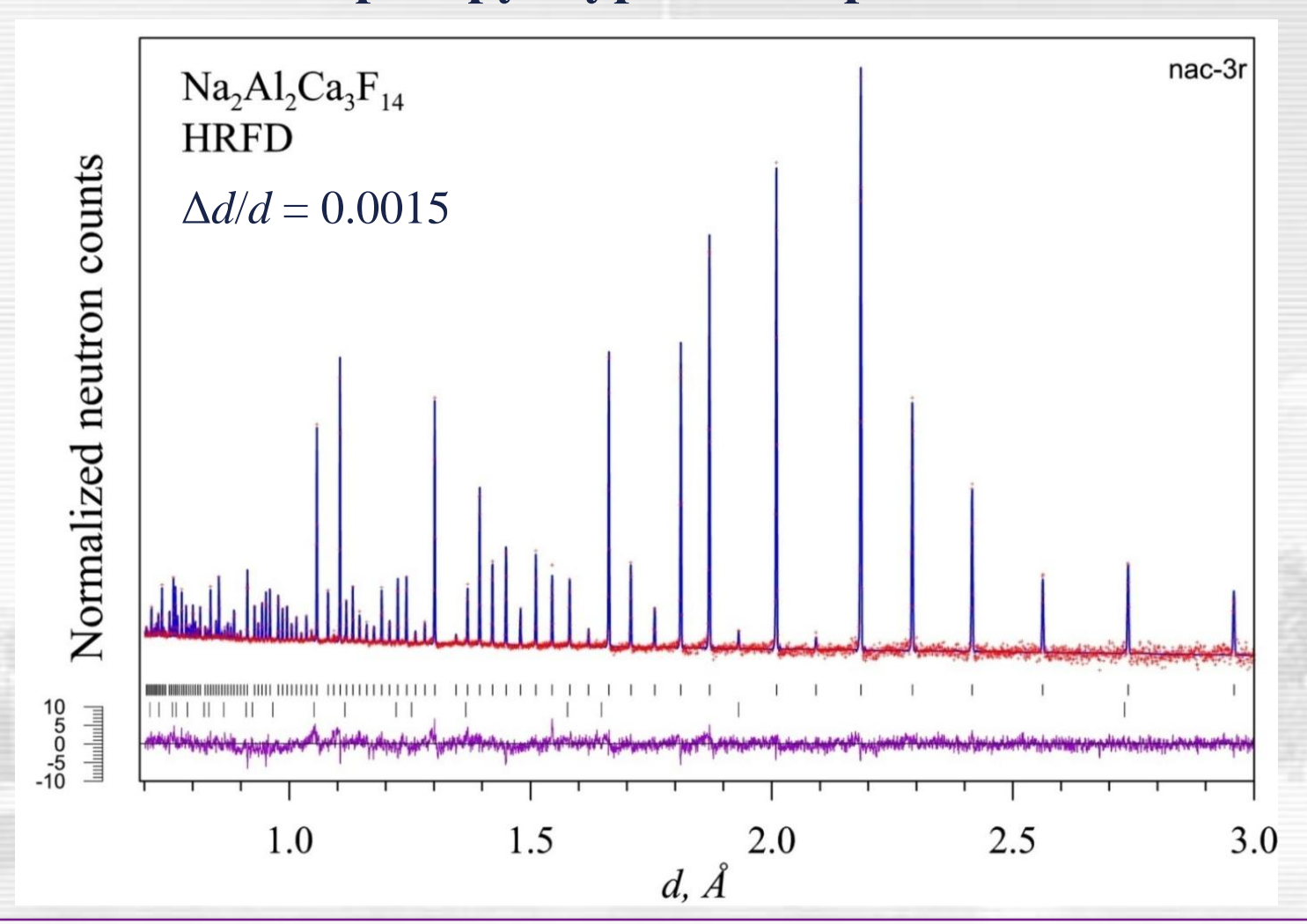


Зависимость деформации пластины от координаты z измеряемой точки. Начало координат помещено в центр пластины.

 $\sigma \approx E \cdot \Delta l/l = E \cdot (d - d_0)/d_0 \approx E \cdot 0.001$

для стали: $\sigma_{\min} \approx 20 \cdot 10^{10} \cdot 10^{-4} = 20 \text{ Mpa}$

Микроструктура поликристалла



Интенсивности → атомная и магнитная структуры, текстура Положения → параметры элементарной ячейки, макронапряжения Ширины (профиль) → микронапряжения, размер ОКР (распределение)

Эффекты напряжений и размера: общая стратегия



"Williamson-Hall" analysis of a peak width

Strain (deformation) effect

$$(\Delta d/d)_{\text{strain}} = 2\varepsilon \rightarrow (\Delta d)_{\text{strain}} = (2\varepsilon) \cdot d$$

Size effect

$$(\Delta \mathbf{H})_{\text{size}} \approx \alpha/L \rightarrow (\Delta d)_{\text{size}} = (\alpha/L) \cdot d^2$$

Spatial inhomogeneity effect

$$(\Delta d/d)_{\rm spat} = {\rm Const} \rightarrow (\Delta d)_{\rm spat} = \beta d$$

Instrumental effect

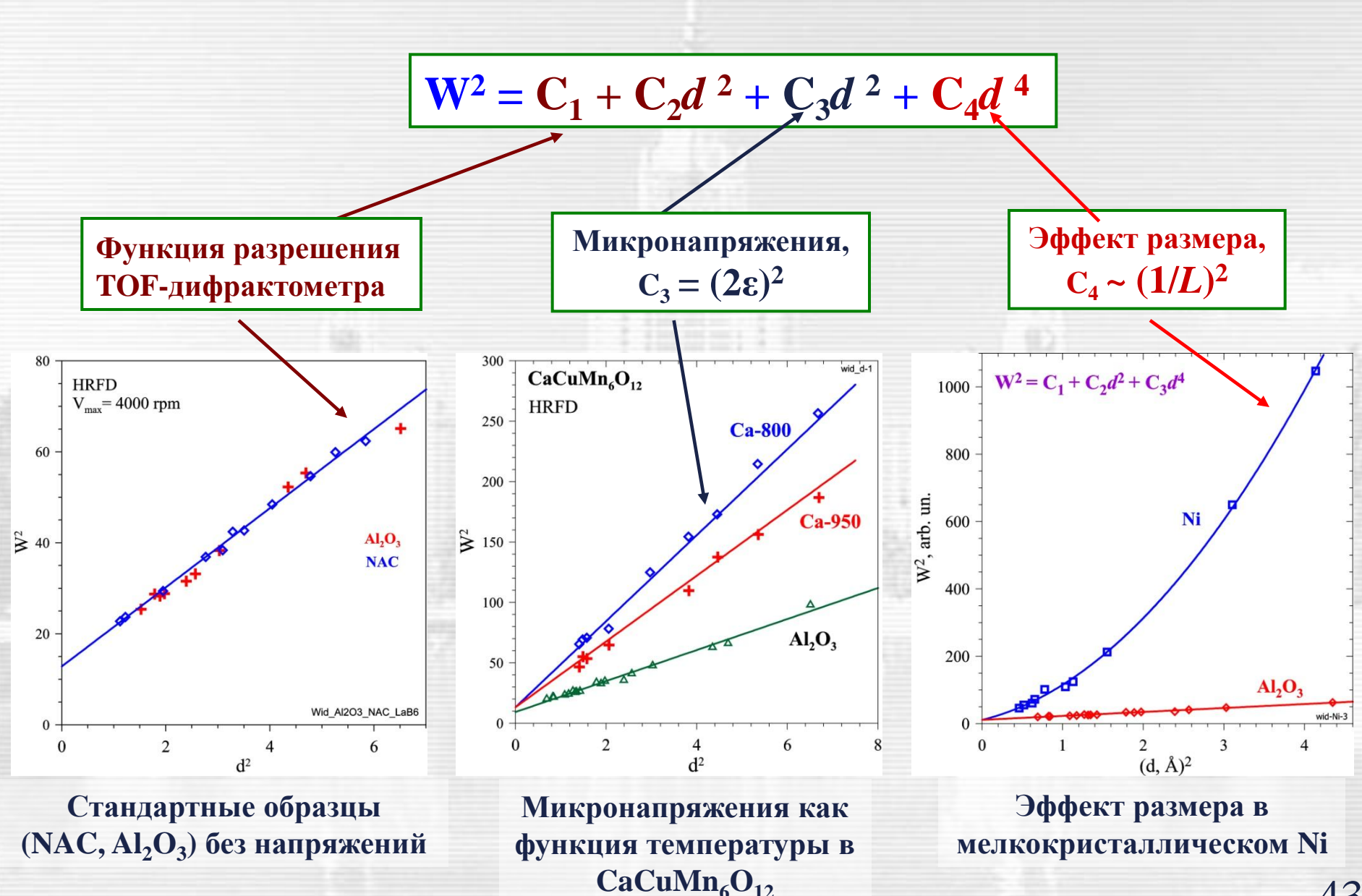
$$\Delta \mathbf{R}(d) \rightarrow (\Delta d)_{\text{TOF}} \sim [\mathbf{C}_1 + \mathbf{C}_2 \cdot d^2]^{1/2}$$

$$(\Delta d)_{\text{tot}}^2 = \Delta \mathbf{R}^2 + (\Delta d)^2_{\text{strain}} + (\Delta d)^2_{\text{size}} + (\Delta d)^2_{\text{spat}}$$

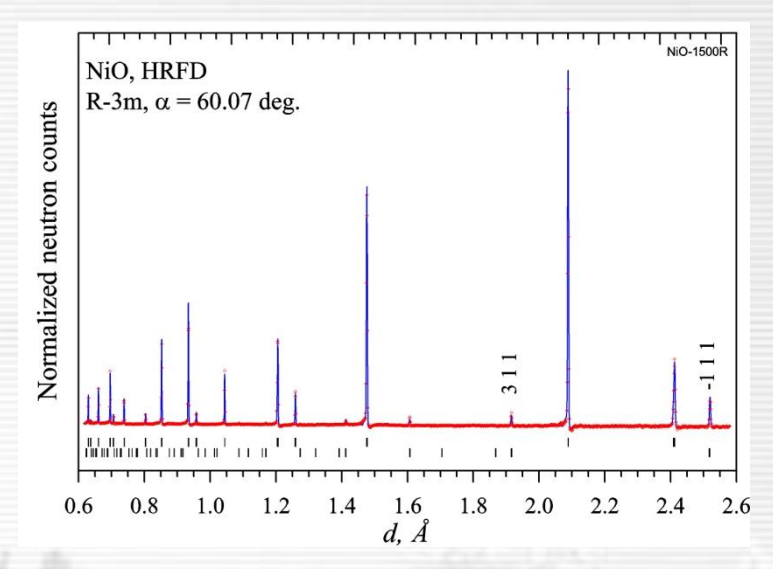
For TOF-diffractometer:

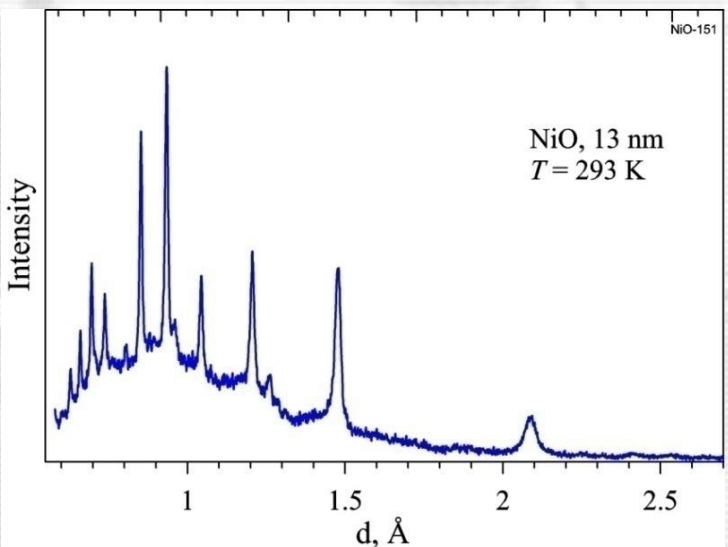
$$(\Delta d)^2 = C_1 + [C_2 + (2\varepsilon)^2 + \beta^2]d^2 + (\alpha/L)^2 \cdot d^4$$

Размер блоков и микронапряжения

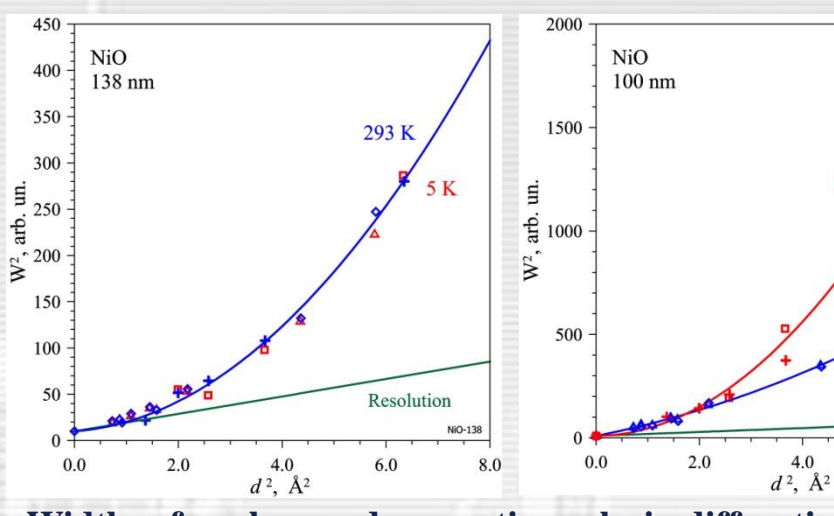


Размерные эффекты в порошках NiO (13, 100, 138 и 1500 nm)

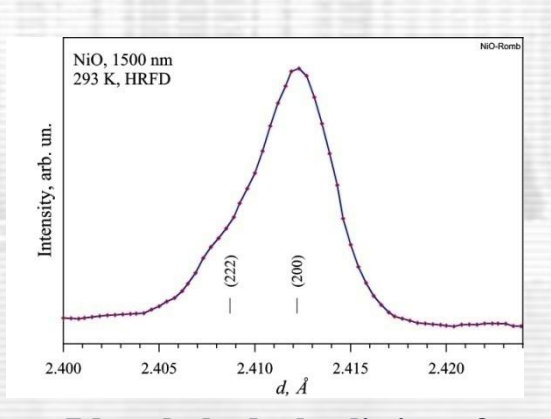




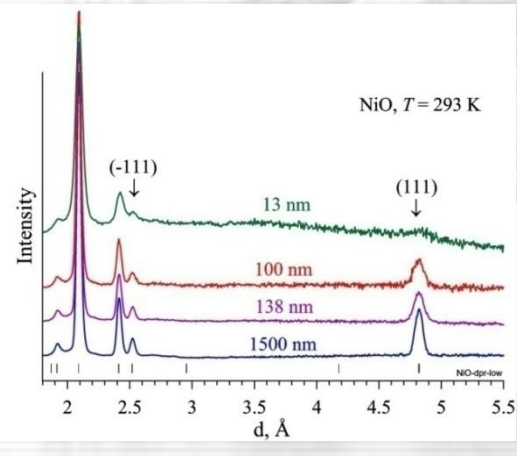
Diffraction patterns of NiO with 1500 nm (after Rietveld refinement) and 13 nm crystallite size



Widths of nuclear and magnetic peaks in diffraction patterns of NiO with 138 (left) and 100 (right) nm crystallite size



Rhombohedral splitting of NiO diffraction line



Magn

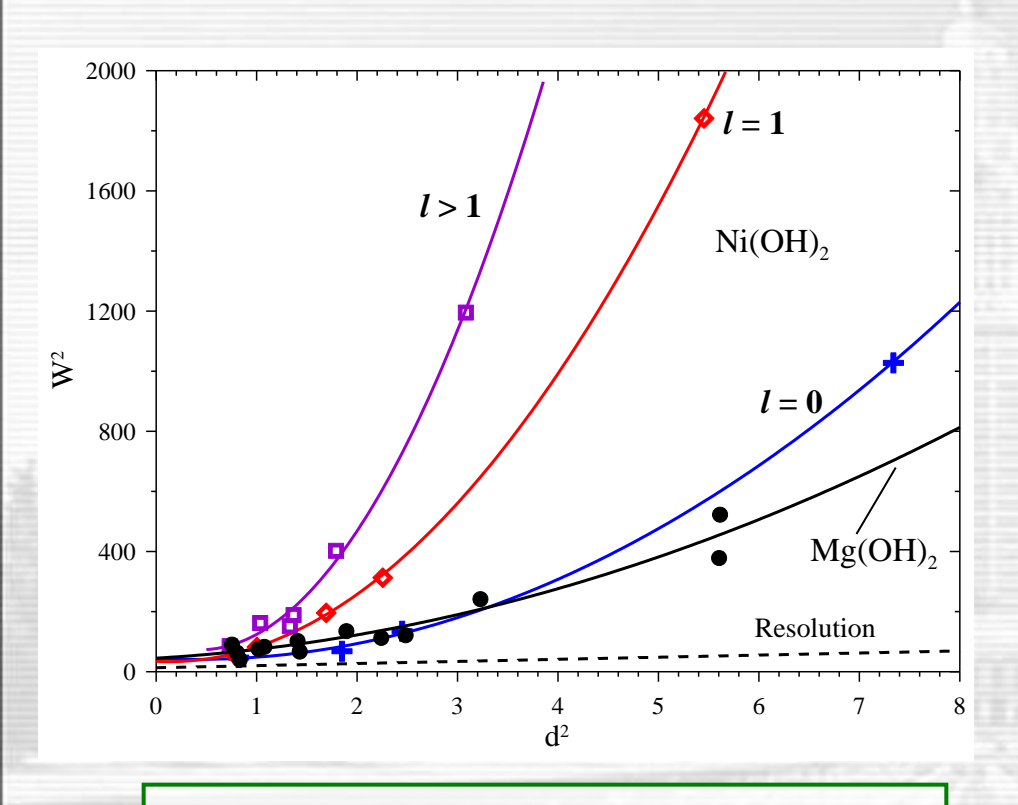
Nucl

6.0

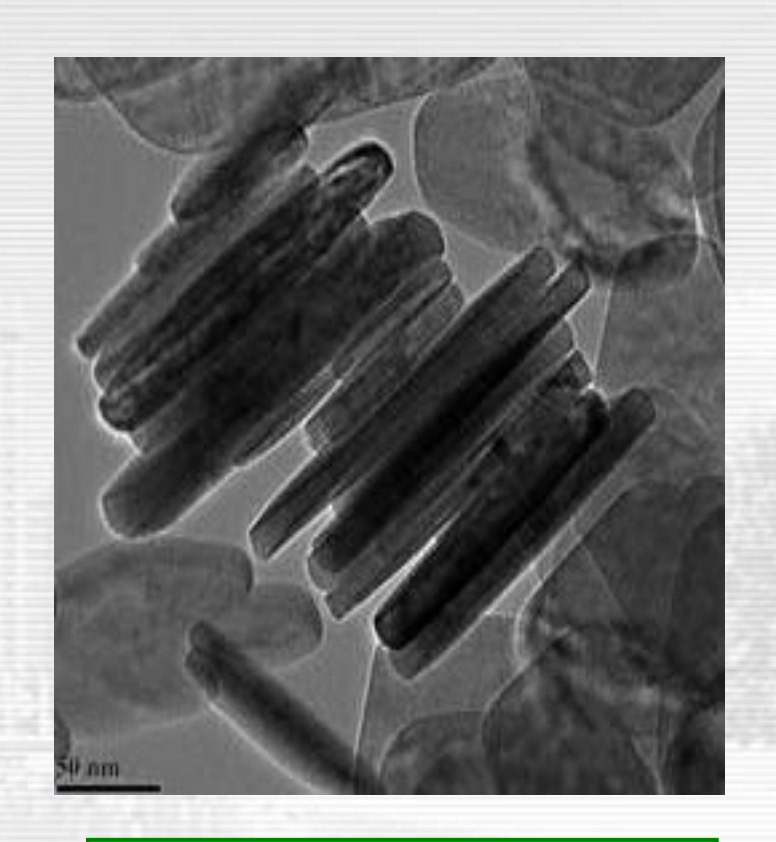
Resolution

Magnetic peaks in diffraction patterns of NiO with various crystallite size

Anisotropy in width of diffraction peaks

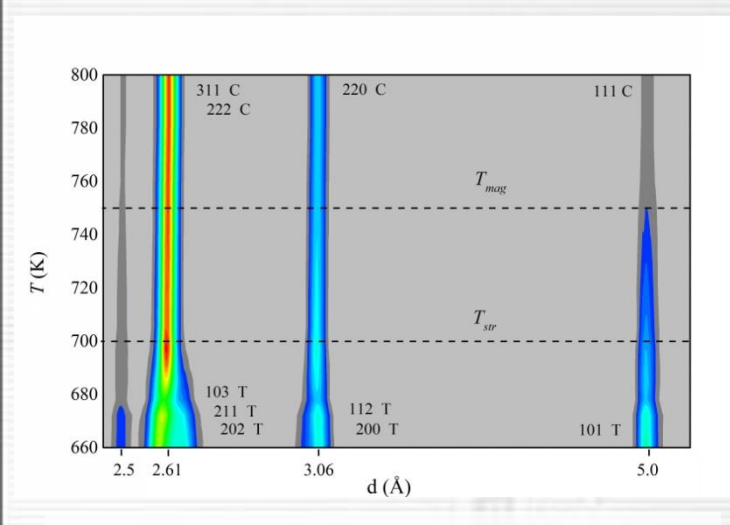


Diffraction widths for β -Ni(OH)₂. Analysis shows that typical disc size: $L_{ab} = 350 \text{ Å}, L_c = 150 \text{ Å}$

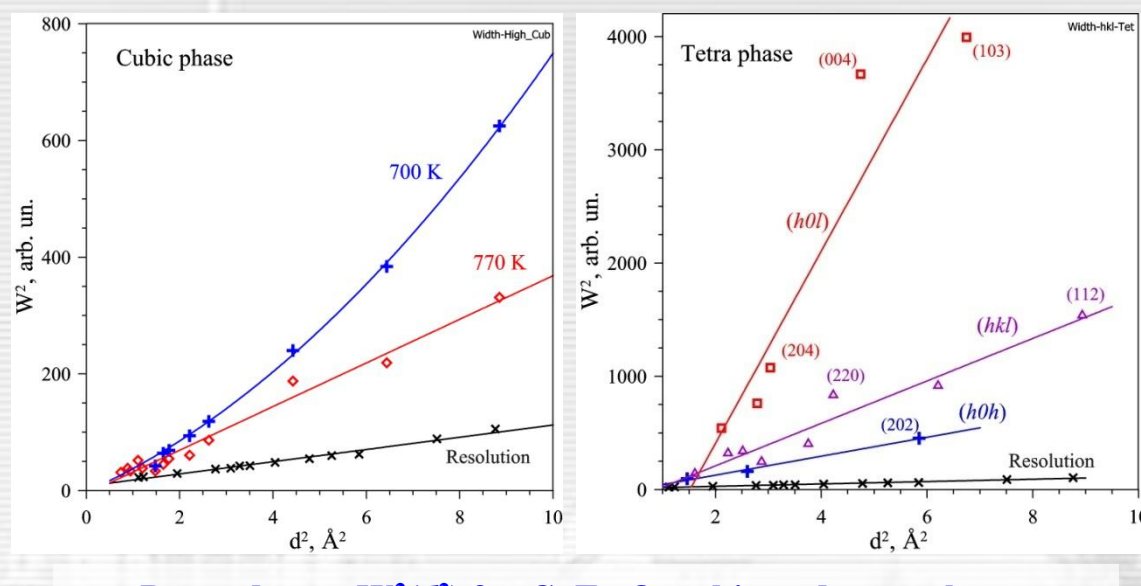


Electron microscopy results: $L_{ab} = 1500 \text{ Å}, L_c = 200 \text{ Å}$

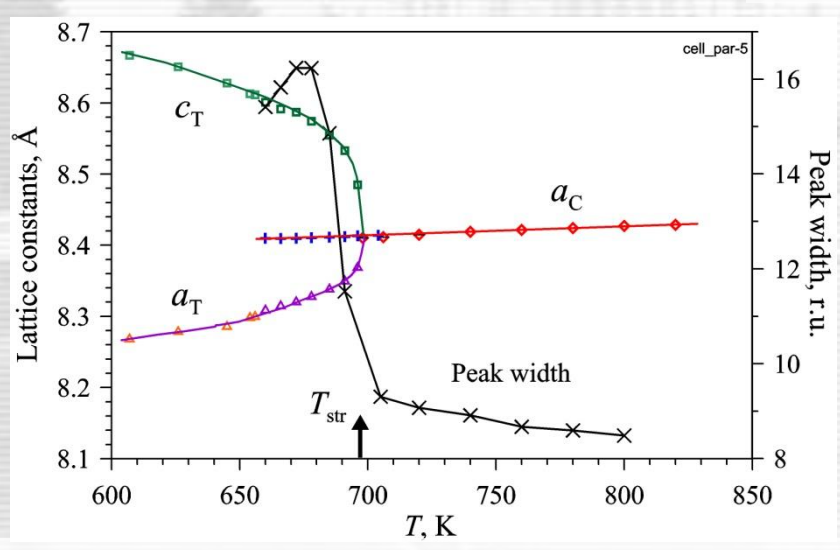
Фазовый переход в CuFe₂O₄ шпинели



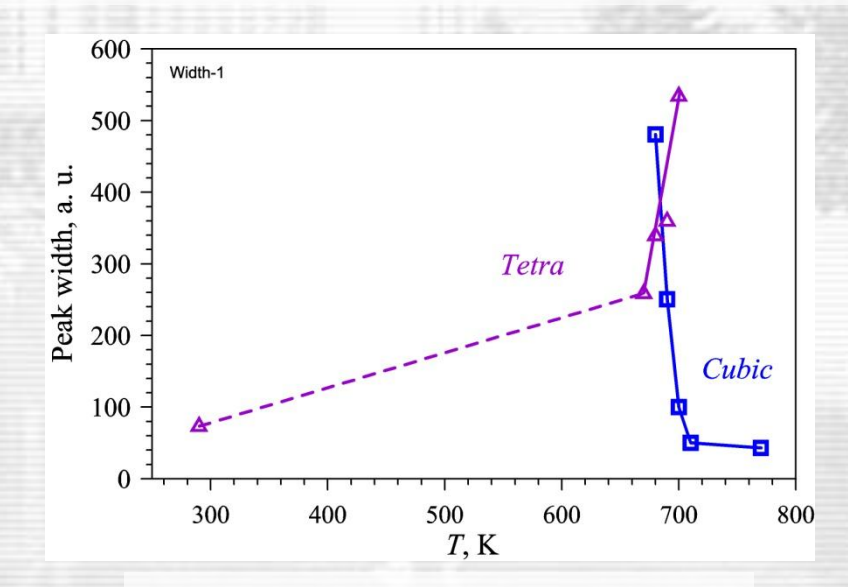
Evolution of diffraction patterns on heating from 660 to 800 K



Dependences $W^2(d^2)$ for $CuFe_2O_4$ cubic and tetra phases



Temperature dependences of unit cell parameters and peak width



CuFe₂O₄ peak width in wide *T*-range

WPPM - Whole Powder Pattern Modelling

Journal of Applied Crystallography

ISSN 0021-8898

Received 23 May 2005 Accepted 13 October 2005

© 2006 International Union of Crystallography

Line profile analysis: pattern modelling versus profile fitting

Paolo Scardi* and Matteo Leoni

Department of Materials Engineering and Industrial Technologies, University of Trento, Italy. Correspondence e-mail: paolo.scardi@unitn.it

Powder diffraction data collected on a nanocrystalline ceria sample within a round robin conducted by the IUCr Commission on Powder Diffraction were analysed by two alternative approaches: (i) whole-powder-pattern modelling based upon a fundamental microstructural parameters approach, and (ii) a traditional whole-powder-pattern fitting followed by Williamson-Hall and Warren-Averbach analysis. While the former gives results in close agreement with those of transmission electron microscopy, the latter tends to overestimate the domain size effect, providing size values about 20% smaller. The origin of the discrepancy can be traced back to a substantial inadequacy of profile fitting with Voigt profiles, which leads to systematic errors in the following line profile

analysis by traditional methods. H systematic errors seem to have litt WPPM vs WPPF



Prof. Matteo Leoni **Univ. of Trento**

Materials Science Forum Vol. 651 (2010) pp 155-171 © (2010) Trans Tech Publications, Switzerland doi:10.4028/www.scientific.net/MSF.651.155

WPPM: microstructural analysis beyond the Rietveld method

P. Scardi^{1, a}. M. Ortolani^{1,b} and M. Leoni^{1,c}

¹Department of Materials Engineering and Industrial Technologies, University of Trento, via Mesiano 77, 38100 Trento, Italy

^aPaolo.Scardi@unitn.it, ^bMatteo.Ortolani@ing.unitn.it, ^cMatteo.Leoni@unitn.it

Keywords: X-ray diffraction; powder diffraction; line profile analysis; full pattern methods; whole powder pattern modeling.

Abstract. The basics of the Whole Powder Pattern Modeling and its implementation in the PM2K software are briefly reviewed. The main features and functionalities, and most common line broadening models are introduced with the aid of working examples related to the instrumental metal. A summary of the main expressions is reported in the WPPM vs Rietveld il references.

Printed in Great Britain - all rights reserved



Prof. Paolo Scardi **Univ. of Trento**

WPPM: basic principle

 $I(s) = I^{IP}(s) \otimes I^{S}(s) \otimes I^{D}(s) \otimes I^{F}(s) \otimes I^{APB}(s) \otimes I^{C}(s) \otimes I^{GRS}(s)...$ $s = 1/d = 2\sin\theta/\lambda$, IP – instrumental profile, S – domain size/shape, D – lattice distortions (dislocations), F – faulting (twins, deformations), APB – anti-phase domain boundaries, C – composition fluctuations, GRS – grain surface relaxations

$$\rho = \rho_1 \otimes \rho_2 \rightarrow F(\rho) = F(\rho_1 \otimes \rho_2) = F(\rho_1) \cdot F(\rho_2)$$

This equation lends itself to an easy and convenient implementation in a computer software!

WPPM is implemented in the PM2K software.

Implemented in PM2K software:

Instrumental profile: pseudo-Voigt for λ =const diffractometer

Ikeda – Carpenter for TOF-diffractometer

double-sign for RTOF-diffractometer

Domain size: Lognormal / Gamma distributions

<u>Dislocations</u>: Krivoglaz – Wilkens relation

<u>Planar faults</u>: Warren – Wilson model

Anti-phase domains: Wilson model

Stoichiometry: Gaussian distribution

$$g(D) = \frac{1}{D\sigma\sqrt{2\pi}} \exp\left[-\frac{1}{2}\left(\frac{\ln D - \mu}{\sigma}\right)^2\right]$$

 μ and σ are refined parameters

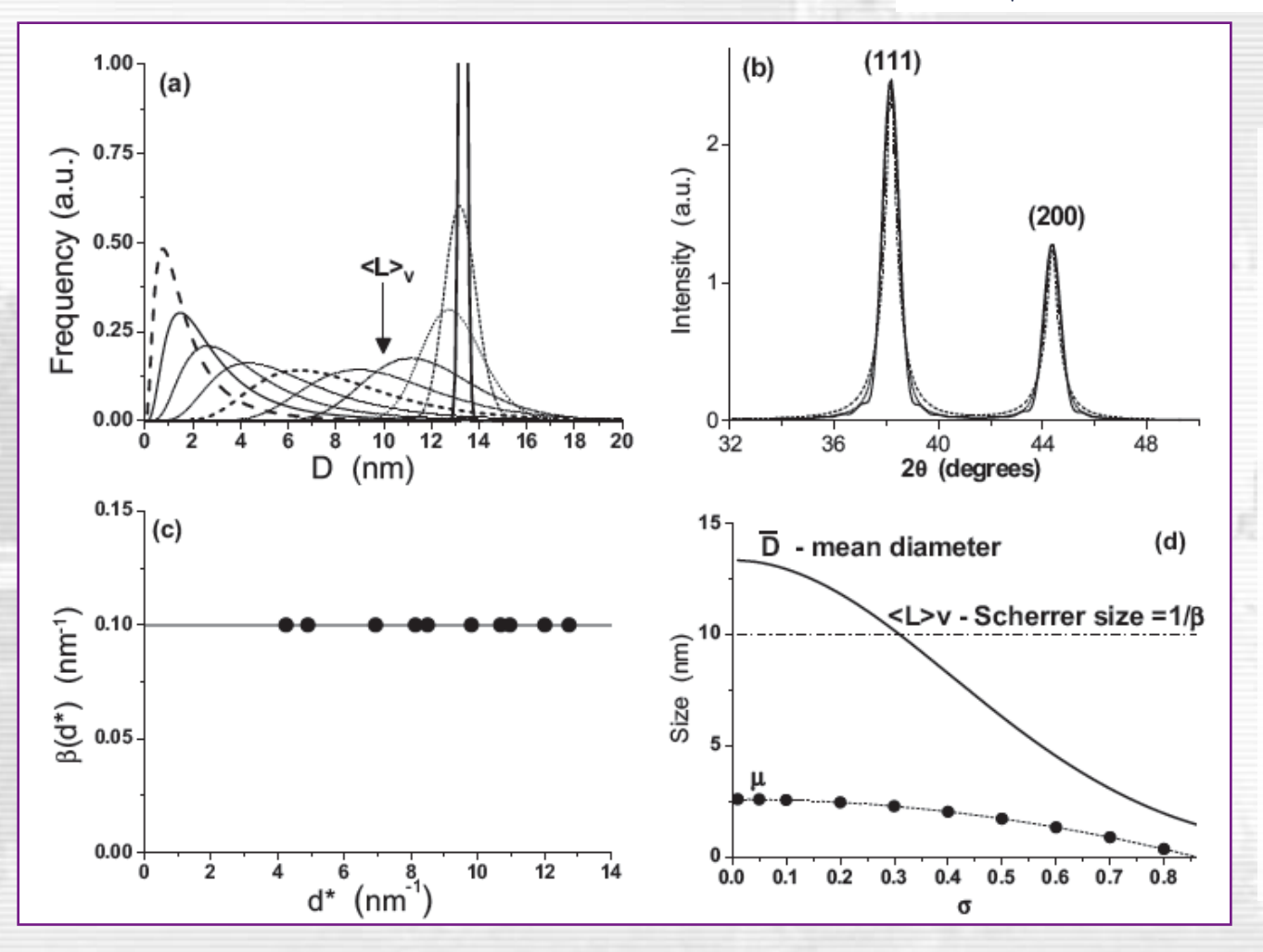
$$< L>_V = 3/4 \cdot \exp(\mu + 7\sigma^2/2)$$

Lognormal distribution

$$g(D) = \frac{1}{D\sigma\sqrt{2\pi}} \exp\left[-\frac{1}{2}\left(\frac{\ln D - \mu}{\sigma}\right)^{2}\right]$$

 μ and σ are refined parameters

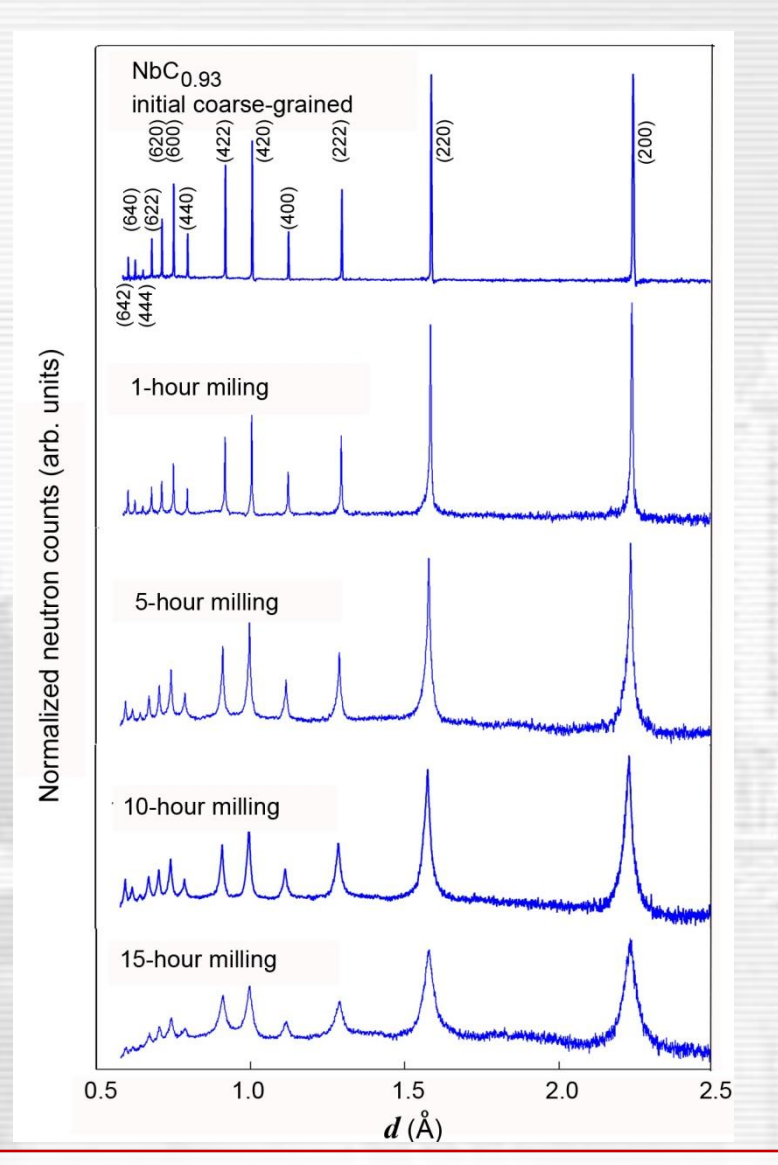
$$< L>_V = 3/4 \cdot \exp(\mu + 7\sigma^2/2)$$

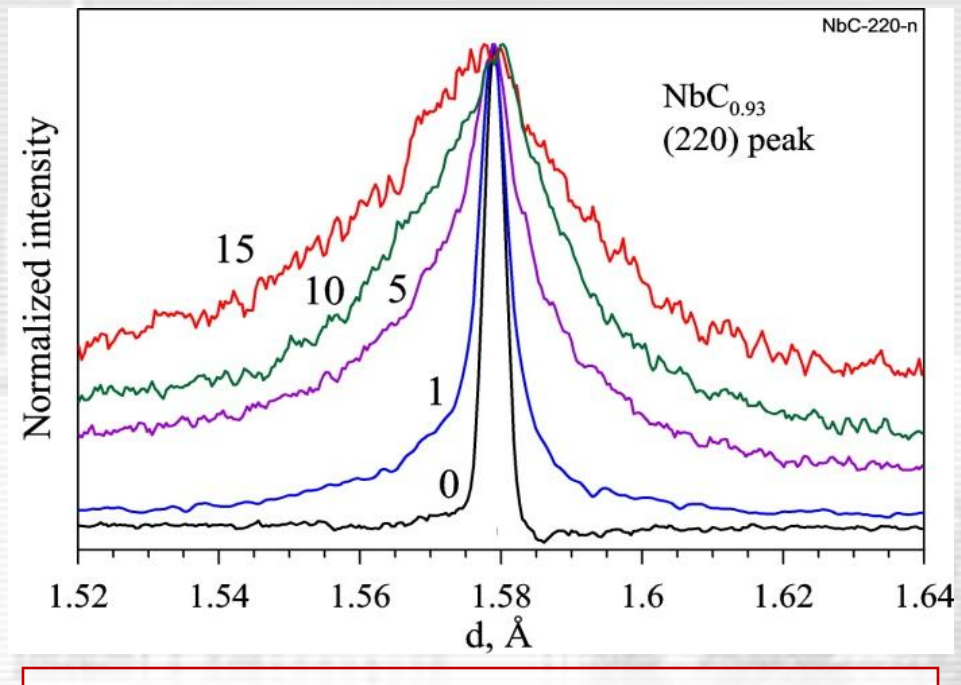


Lognormal distributions with constant Scherrer size (10 nm) (a). Corresponding powder pattern of gold for the three distributions represented in (a) in bold: σ =0.01 (line), 0.4 (dot), 0.8 (dash) (b). Williamson-Hall plot for all simulated patterns (c). Mean diameter and lognormal mean (μ) for the various increasing values of lognormal variance (σ) used in the simulations (d).

P. Scardi, Z. Kristallogr. Suppl. 27 (2008) 101-111.

HRFD: дефектная структура карбида ниобия, NbC_{0.93}





Эволюция профиля пика (220) с увеличением времени перемалывания.

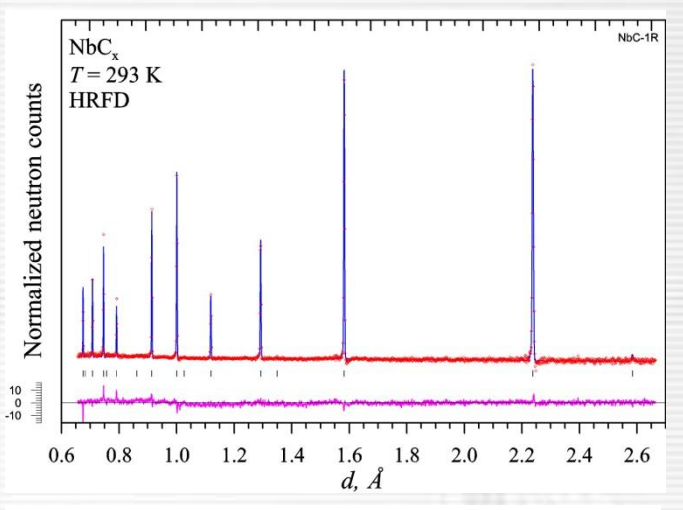
Анализ данных выполнялся

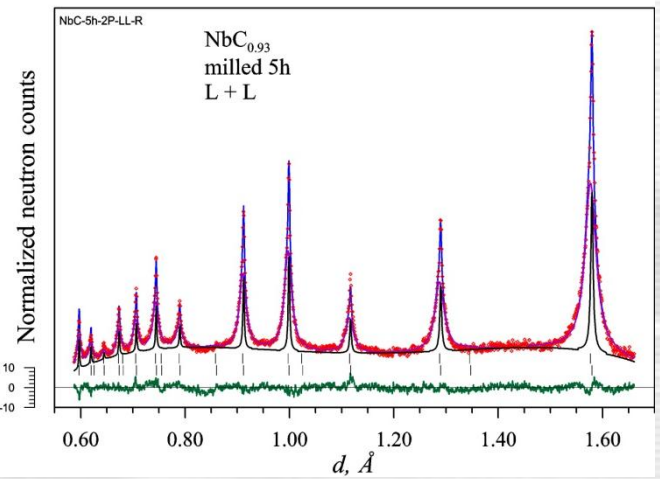
используя методы:

Rietveld, Williamson-Hall u WPPM

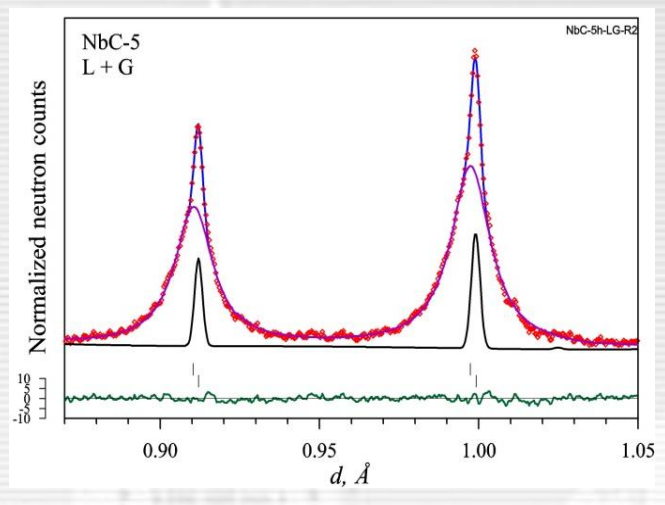
Diffraction pattern of the initial and milled samples

Microstructure of nanosized NbC_{0.9} powders milled in 1, 5, 10, 15 hours

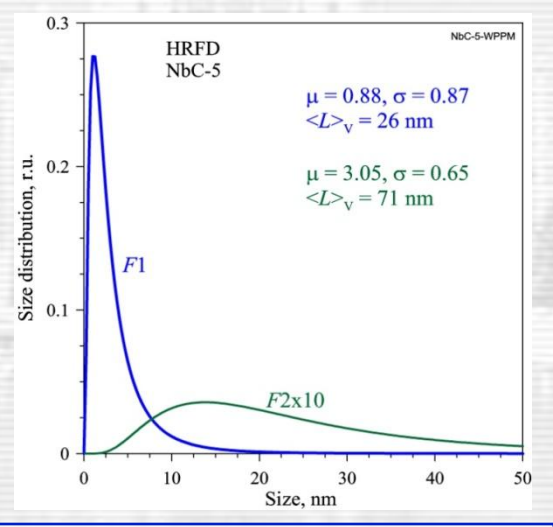


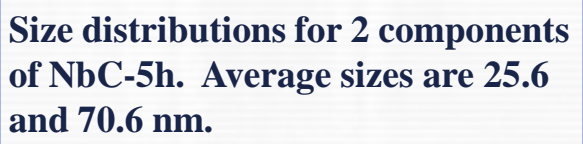


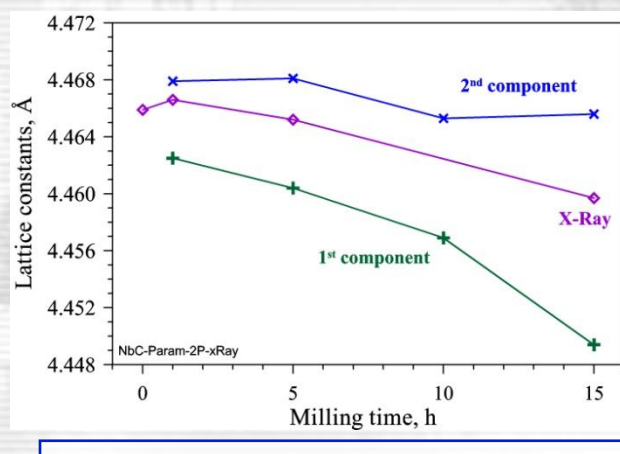
Rietveld refinement of NbC-0h & NbC-5h patterns. Two-component model was used for the second pattern.











Lattice parameter as a function of milling time for x-ray data and 2 component neutron distribution.

Нейтронография: основные тенденции

Структурный анализ: структуры все большей сложности, ≥ 50 параметров

Включение в анализ когерентного (брэгговского) и диффузного рассеяния

Увеличение скорости накопления дифракционных данных, $t_{\rm s} \le 10~{\rm cek}$ (до 0.3 сек)

Увеличение диапазона наблюдаемых $d_{
m hkl}$, $0.3 \le d_{
m hkl} \le 30~{
m \AA}$

Уменьшение объема образца, $V_s \le 1 \text{ mm}^3$, в алмазных наковальнях $V_s \le 0.01 \text{ mm}^3$

Анализ реальной структуры (микроструктуры) материалов

Литература на русском языке

- И.И.Гуревич, Л.В.Тарасов "Физика нейтронов низких энергий" М., Наука, 1965
- М.П.Шаскольская "Кристаллография" М., Высшая школа, 1976
- В.И.Иверонова, Г.П.Ревкевич "Теория рассеяния рентгеновских лучей" М., МГУ, 1978
- Ю.З.Нозик, Р.П.Озеров, К.Хениг "Структурная нейтронография" М., Атомиздат, 1979
- Б.К.Вайнштейн "Симметрия кристаллов", "Современная кристаллография", т.1, М., Наука, 1979
- Г.С.Жданов, А.С.Илюшин, С.В.Никитина "Дифракционный и резонансный структурный анализ" М., Наука, 1980

Литература на английском языке

- C.G. Windsor "Pulsed Neutron Scattering" Taylor&Francis, London, 1981
- J.R.D. Copley "The Fundamentals of Neutron Powder Diffraction" NIST Special Publication, 960-2, 2001
- T. Egami, S.J.L. Billinge "Underneath the Bragg Peaks. Structural Analysis of Complex Materials" Pergamon Mat. Series, Vol. 7, Oxford, 2003
- V.K. Pecharsky, P.Y. Zavalij "Fundamentals of Powder Diffraction and Structural Characterization of Materials" Springer, 2005
- "Powder Diffraction. Theory and Practice"
 Ed.-s R.E. Dinnebier, S.L.J. Billinge, RSC Publishing, 2008
- A. Furrer, J. Mesot, T. Strassle "Neutron Scattering in Condensed Matter Physics" World Scientific, 2009

Дополнительная литература

Дж. Каули "Физика дифракции" М., Мир, 1979

М.А. Кривоглаз "Дифракция рентгеновских лучей и нейтронов в неидеальных кристаллах" Киев, Наукова думка, 1983.

Л.А. Асланов, Е.Н. Треушников "Основы теории дифракции рентгеновских лучей" М., МГУ, 1985

Г.В.Фетисов "Синхротронное излучение" М., Физматлит, 2007

Спасибо за внимание!